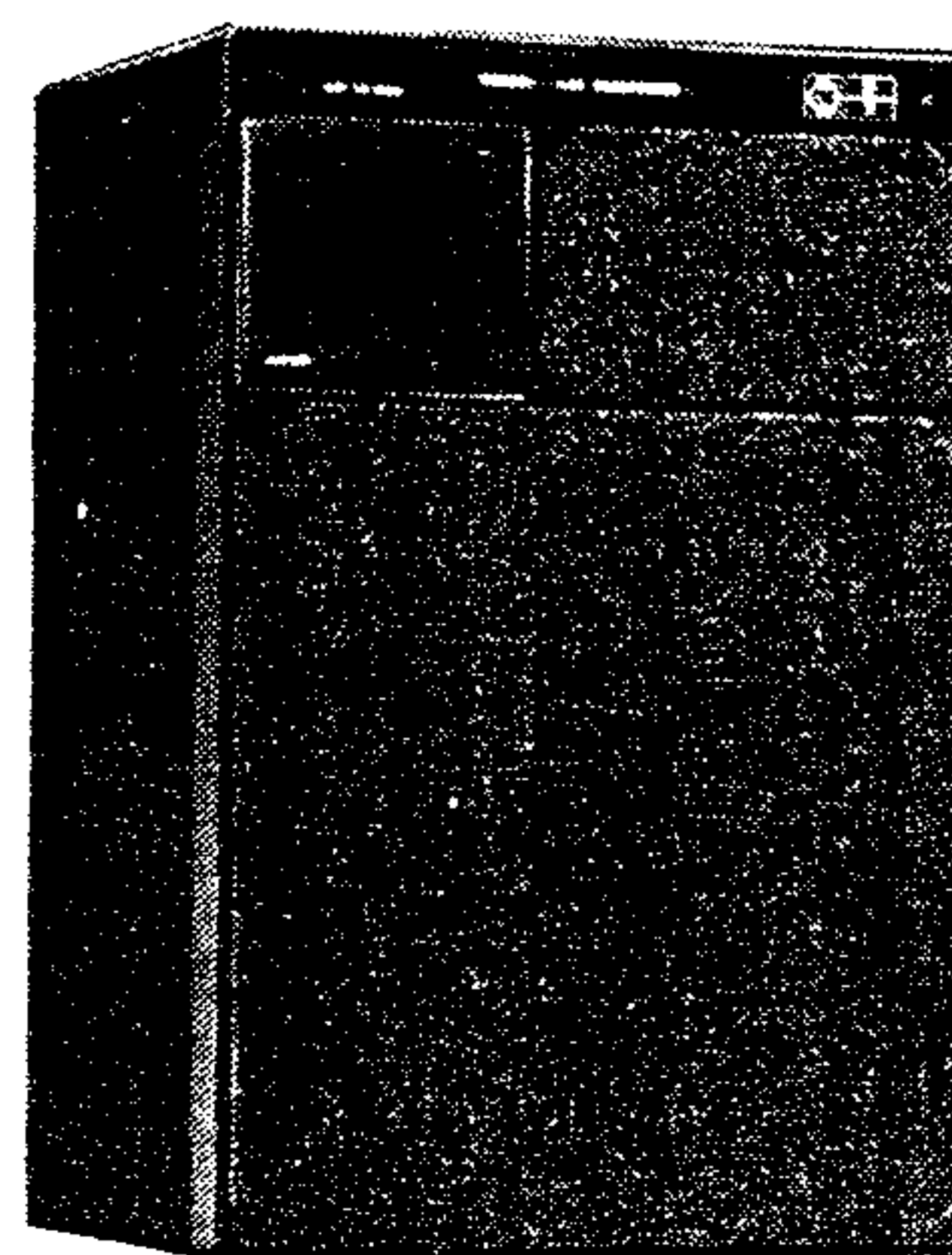


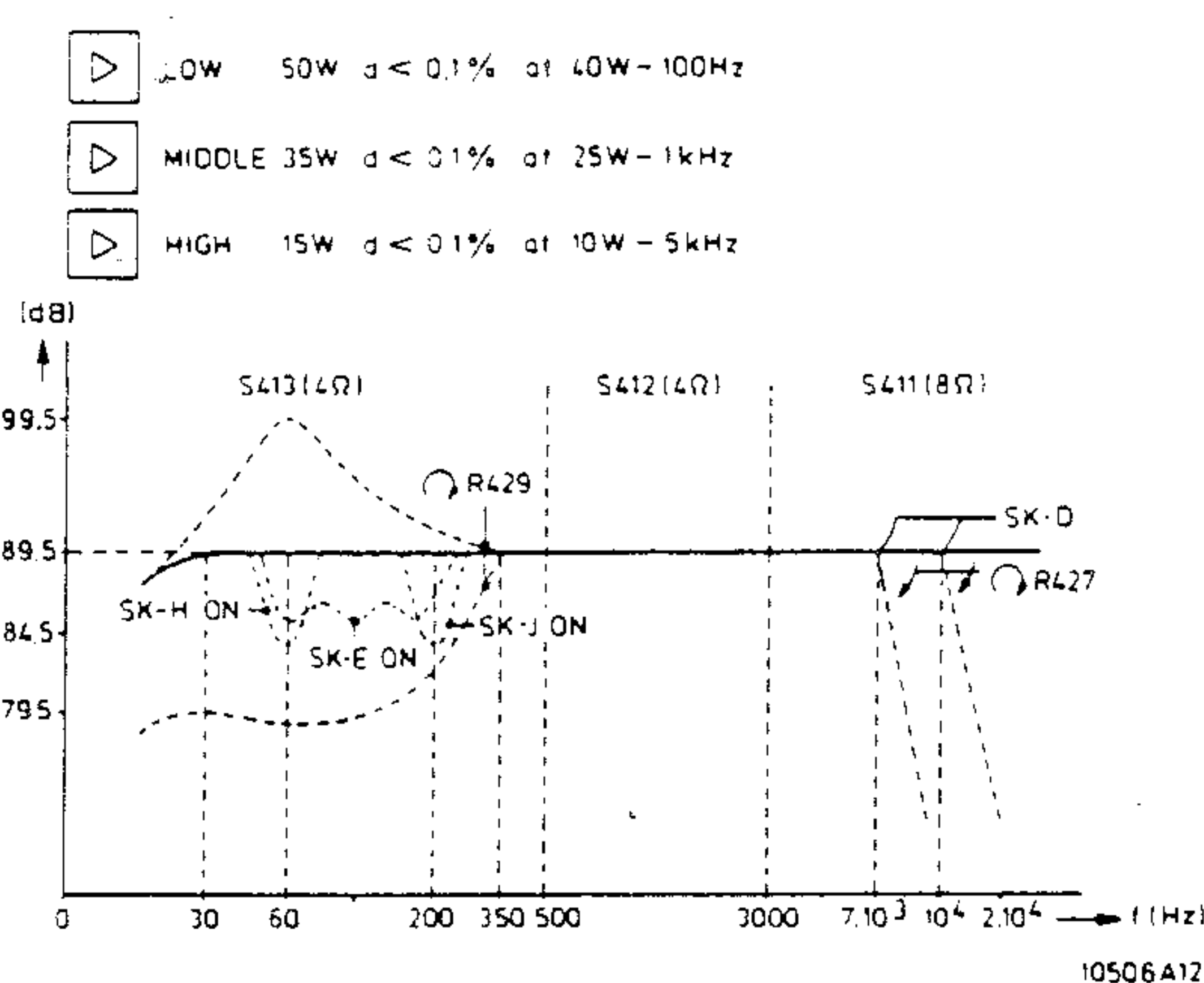
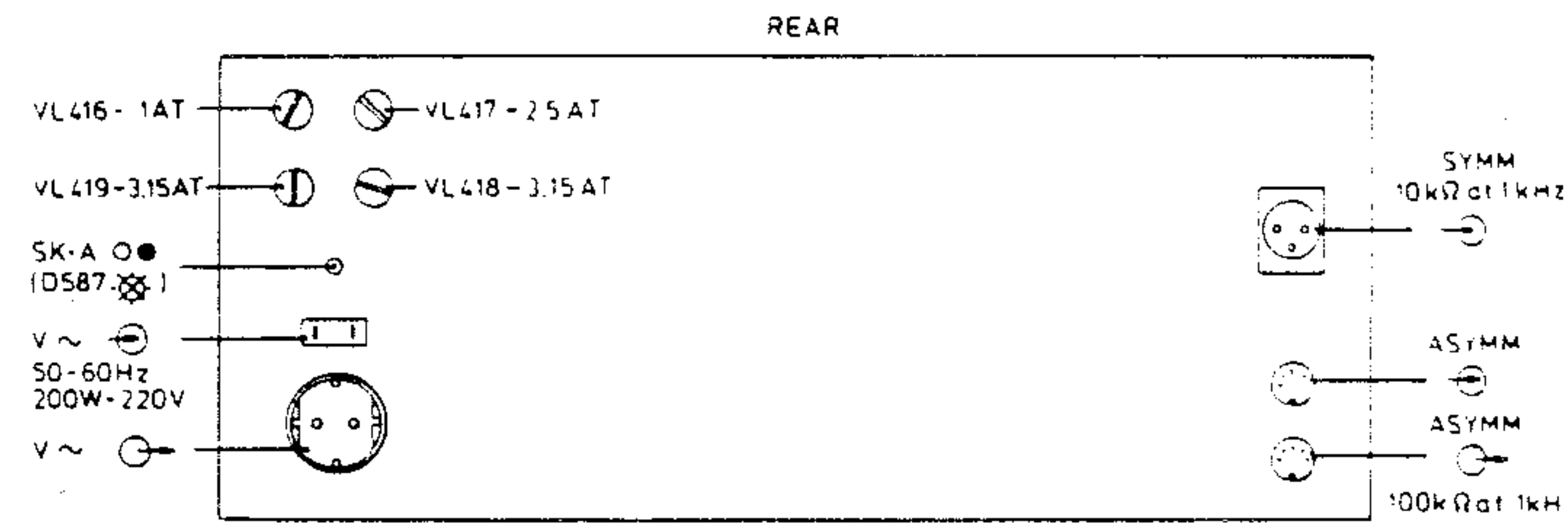
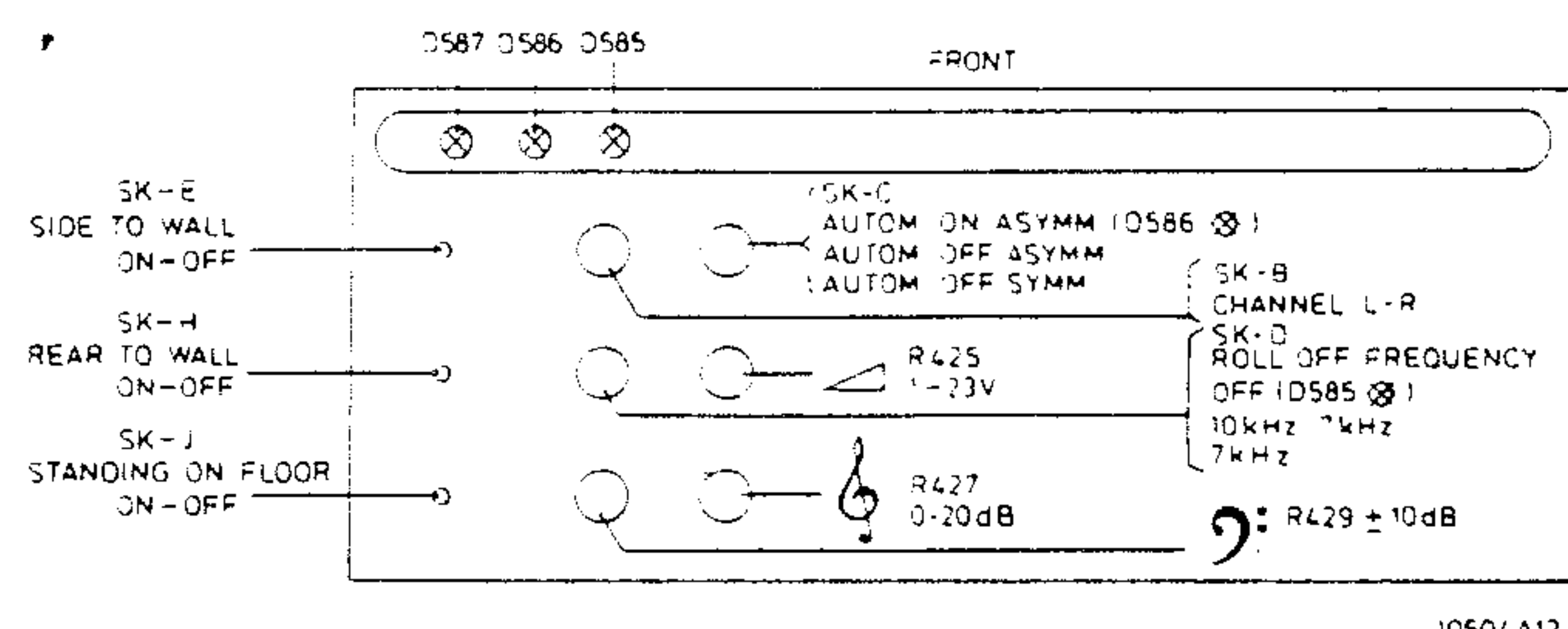
Service
Service
Service



8982 A2

Service Manual

DIMENSIONS: 650 X 436 X 320



Veiligheidsbepalingen vereisen, dat het apparaat bij reparatie in zijn oorspronkelijke toestand wordt teruggebracht en dat onderdelen, identiek aan de gespecificeerde, worden toegepast.



ALGEMEEN

In hetgeen volgt zal de werking van het systeem duidelijk gemaakt worden aan de hand van Fig. 2. Met potentiometer R425 kan de gevoeligheid van het apparaat ingesteld worden tussen 1 en 23 Volt. Om te voorkomen dat de voorversterker overstuurd zou worden zijn D567 en D568 als begrenzer uitgevoerd, zodat het signaal aan de ingang van TS435 nooit groter kan worden dan 24 Volt (top tot topwaarde). Na versterking in TS435 wordt het signaal aangeboden aan rumble filter TS436.

Nadien volgt een laagdoorlaatfilter, waarmee de afsnijfrekentie kan ingesteld worden op 7 kHz of 10 kHz. Bovendien kan de helling geregeld worden van 0 tot 20 dB/oktaaf.

Achter laatstgenoemd filter wordt het signaal voor de hogetonenversterker afgetakt. Dit signaal wordt eerst aangeboden aan een hoogdoorlaatfilter bestaande uit TS496. Na versterking via TS497 \div TS403b wordt dit signaal aangeboden aan de hogetonenluidspreker S411. De versterking bedraagt 15 W. Na het hoogdoorlaatfilter voor 7 kHz en 10 kHz wordt het signaal eveneens toegevoerd aan de lagetonenregeling bestaande uit TS438 en TS439, waar mee een regelbereik mogelijk is van ± 10 dB bij 60 Hz. Daarachter volgen drie korrektiefilters voor de lagetonen. Deze filters worden verderop behandeld.

Achter deze filters wordt het signaal enerzijds toegevoerd aan de middentonenversterker en anderzijds aan de lagetonenversterker.

Voor wat betreft de middentonenversterker loopt het signaal door een banddoorlaatfilter, bestaande uit hoog- af filter TS447, TS448 en hoogdoorlaatfilter TS510.

Na versterking in TS511 \div TS518b wordt het signaal toegevoerd aan luidspreker S412. De versterking bedraagt 35 W.

Voor wat betreft de lagetonenversterker loopt het signaal eerst door laagdoorlaatfilter TS477, TS478. Dit signaal wordt toegevoerd aan optelschakeling TS479. Na versterking in TS526 \div TS537b wordt het signaal toegevoerd aan MFB luidspreker S413. De versterking bedraagt 50 W.

Het signaal afkomstig van de versnellingsopnemer van de MFB speaker wordt via de korrektieschakeling TS549 - TS551 toegevoerd aan optelschakeling TS479. Verder kan de totale versterking van de hogetonenversterker ingesteld worden met R976. Met R1032 kan de totale versterking van de middentonenversterker ingesteld worden. Met R1142 stelt men gelijkzeitig de MFB terugkoppeling en de totale versterking van de lagetonenversterker in. De afregeling van deze weerstanden wordt behandeld in afregelprocedure.

Voorts zijn de drie luidsprekers beveiligd tegen overbelasting d.m.v. een beveiligingsschakeling bestaande uit D605, D607, D609, Smitt trigger TS452, TS453, de elektronische schakelaar TS451 en R826.

Tenslotte is er een automatisch inschakelcircuit aanwezig, bestaande uit TS486 \div TS491 en relais Re407.

LAGE TONEN KORREKTIEFILTERS

- On floor
- Back against wall
- Side against wall

Men heeft proefondervindelijk vastgesteld dat de lagetonenweergave van een luidsprekerbox sterk afhankelijk is van de plaats waar de box in een ruimte wordt opgesteld.

Alle mogelijke posities die een luidsprekerbox in een driedimensionale ruimte kan innemen kunnen teruggebracht worden tot drie basisopstellingen of combinaties daarvan (zie Fig. 3).

- a. Luidsprekerbox staat op de grond
- b. Achterzijde luidsprekerbox staat tegen een wand
- c. Zijkant luidsprekerbox staat tegen een wand

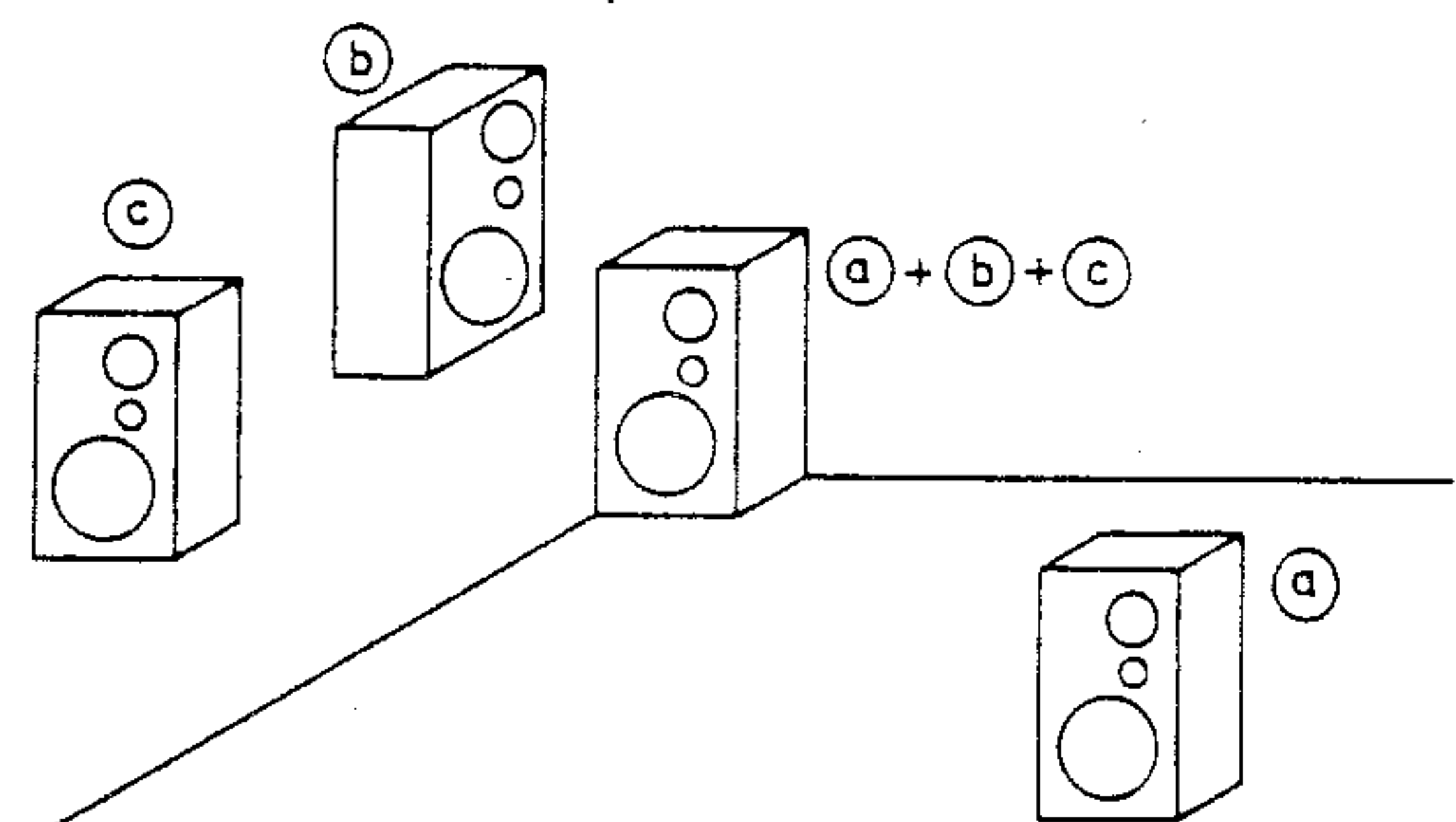


Fig. 3

Het is duidelijk dat een luidsprekerbox die in een hoek opgesteld staat, de combinatie van de drie basisopstellingen is, namelijk (a) + (b) + (c) (zie Fig. 3).

De invloed van de drie basisopstellingen op de akoestische frekentieweergave is weergegeven in Fig. 4.

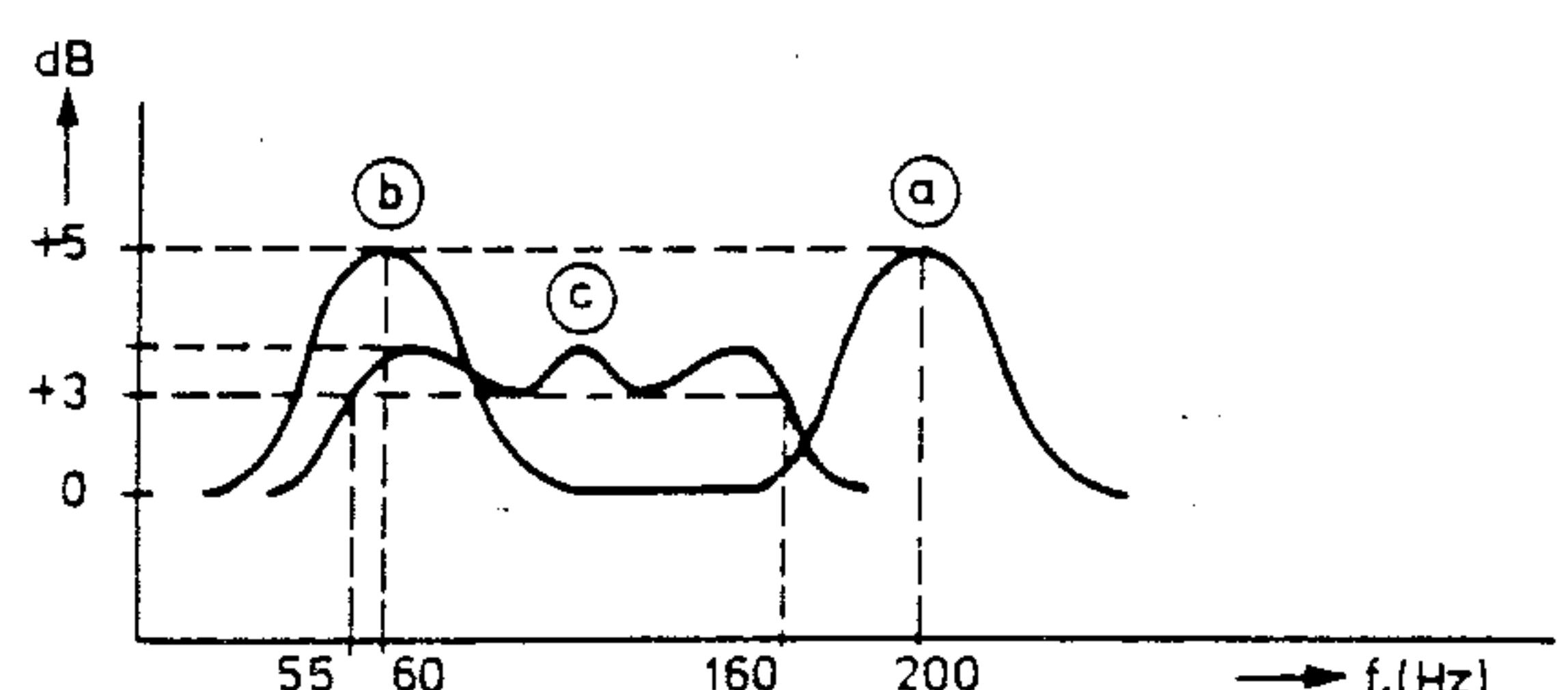


Fig. 4

a. Luidsprekerbox op grond

Dit veroorzaakt een toename van het akoestisch vermogen met 5 dB in de buurt van 200 Hz.

b. Achterzijde LS box tegen wand

Dit veroorzaakt een toename van het akoestisch vermogen met 5 dB in de buurt van 60 Hz.

c. Zijkant luidsprekerbox tegen wand

Dit veroorzaakt een toename van het akoestisch vermogen met 3 dB tussen 55 en 160 Hz.

Deze drie verschijnselen kan men bij de 22RH545 elk afzonderlijk neutraliseren. Men heeft nl. drie lagetonenkorrektiefilters ingebouwd, waarvan de karakteristiek tegengesteld is aan de karakteristiek volgens Fig. 4 (zie Fig. 5).

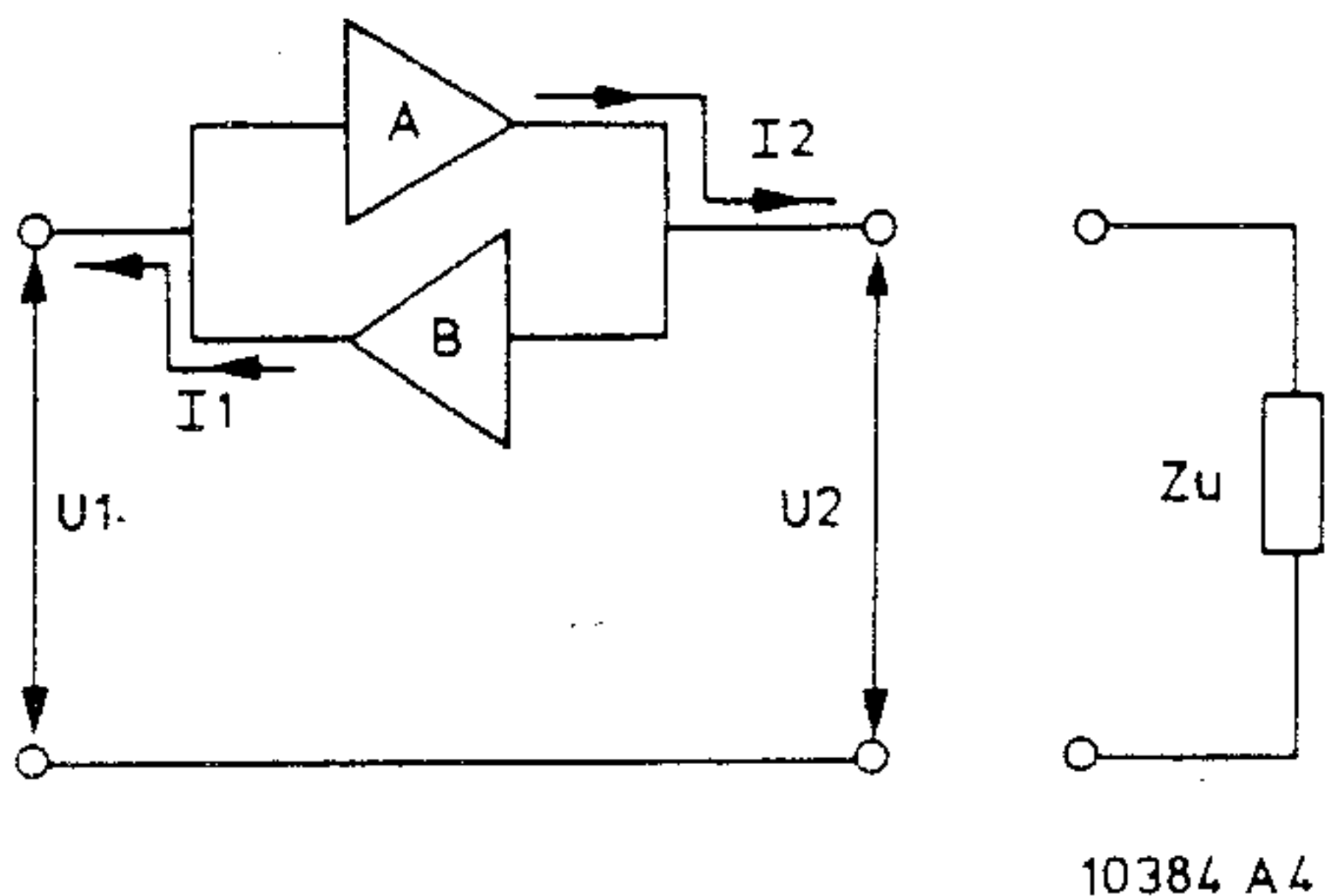


Fig. 10

Als nu aan de uitgang van de gyrator een impedantie Z_u aangesloten wordt (zie Fig. 10) dan ontstaat:

$$U_2 = Z_u \cdot I_2 \rightarrow Z_u = \frac{U_2}{I_2}$$

De impedantie aan de ingangsklemmen is nu

$$Z_i = \frac{U_1}{I_1} = \frac{I_2}{g_1 g_2 U_2} = \frac{1}{g_1 g_2 Z_u} \quad (1)$$

waarbij $\frac{1}{g_1 g_2}$ de gyratieweerstand is.

Als Z_u een kapacitieve reaktantie is, dan is

$$Z_u = \frac{1}{j\omega C}$$

Na substitutie in (1) ontstaat: $Z_i = \frac{j\omega C}{g_1 g_2}$, zodat

$$L = \frac{C}{g_1 g_2}. Hierin zijn g_1 en g_2 constanten.$$

In de 22RH545 heeft men een asymmetrische gyrator toegepast (Fig. 11).

TS470 en TS463 zijn hier versterker A uit Fig. 10,

en R891 neemt de plaats in van B in Fig. 10.

TS470 en TS463 vormen een spanningsgestuurde stroombron.

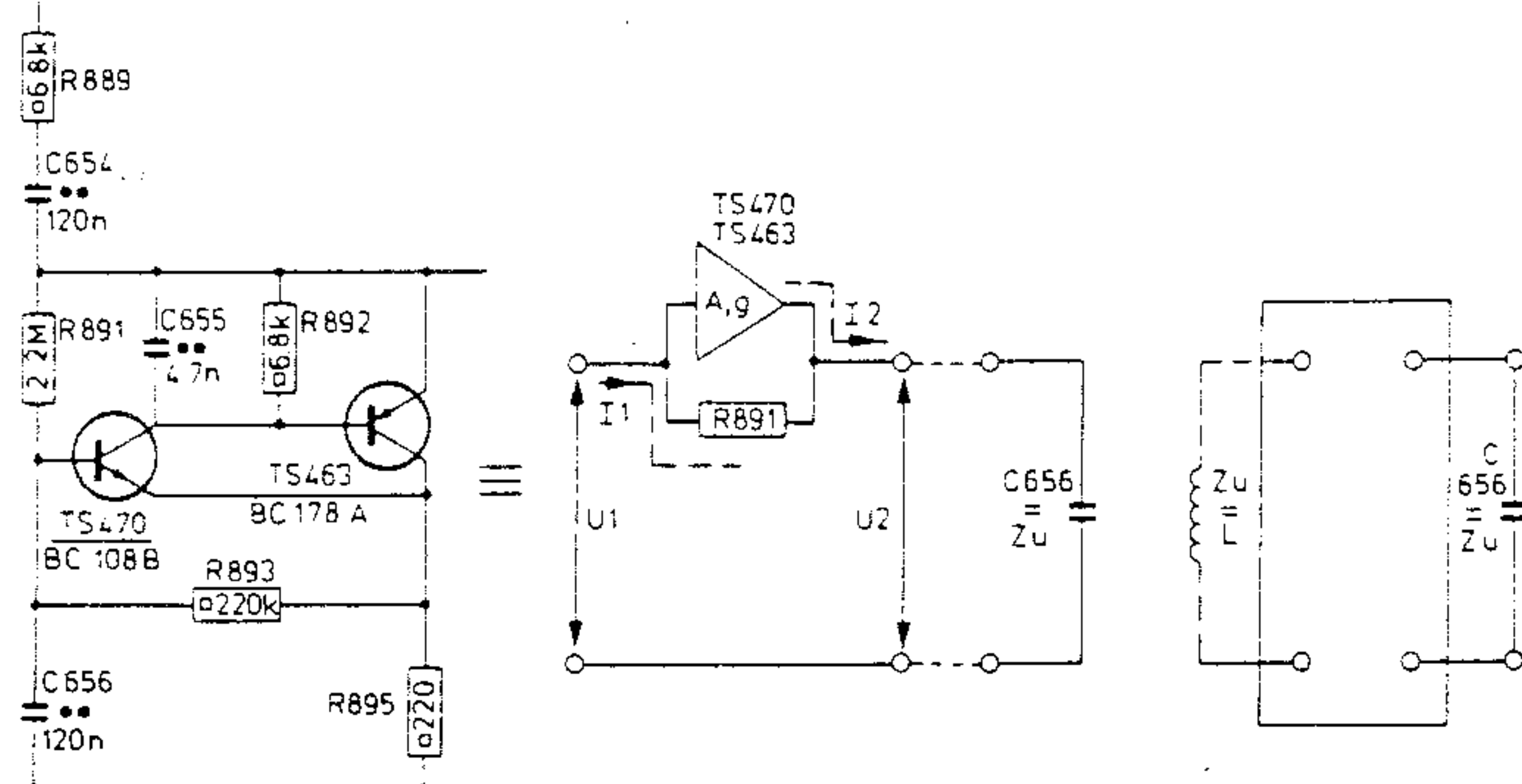


Fig. 11

Gegeven is dat versterker A een hoge ingangs-impedantie heeft (dus I_1 vloeit praktisch helemaal door R891), en een hoge versterking heeft (dus $U_2 \gg U_1$).

We krijgen nu:

$$I_2 = g \cdot U_1$$

$$U_2 = I_1 \cdot R_{891} \text{ (daar } U_2 \gg U_1\text{)}$$

$$\text{Als } Z_u = \frac{1}{j\omega C_{656}} \text{ dan is } U_2 = \frac{I_2}{j\omega C_{656}}$$

De impedantie aan de ingang is dan

$$Z_i = \frac{U_1}{I_1} = \frac{I_2 \cdot R_{891}}{g \cdot U_2} = \frac{I_2 \cdot R_{891} \cdot j\omega C_{656}}{g \cdot I_2} = \frac{j\omega C_{656} \cdot R_{891}}{g} \quad (2)$$

In deze formule zijn C_{656} en R_{891} bekend, doch de steilheid moet nog berekend worden.

$$\text{Men kan berekenen dat } g = \frac{1}{R_{895}} \quad (6)$$

Voorbeeld

Uit vergelijkingen (2) en (6) volgt dat:

$$Z_i = j\omega C_{656} \cdot R_{891} \cdot R_{895} \text{ zodat de "kunst L" gelijk is aan } L = C_{656} \cdot R_{891} \cdot R_{895} = 120 \cdot 10^{-9} \cdot 2,2 \cdot 10^6 \cdot 220 = 58 \text{ Henry}$$

Men kan nu ook de resonantiefrequentie berekenen van de RLC seriekring van bv. Fig. 11

Gegeven: bij resonantie $\omega^2 LC = 1$

$$\text{waaruit } f = \frac{1}{2\pi \sqrt{LC}} = \frac{1}{6.28 \sqrt{58 \cdot 120 \cdot 10^{-9}}} = 60 \text{ Hz.}$$

C_{656} is toegevoegd opdat de steilheid een precies gedefinieerde waarde zou behouden.

R893 vormt met C_{656} een laagdoorlaatfilter om te vermijden dat bij hogere frequenties er instabiliteitsverschijnselen in de gyrator optreden.

Eindversterkers

De box is voorzien van drie afzonderlijke eindversterkers voor de lage, de middelen en de hoge tonen. De hogetonen- en de middentonenversterkers zijn bekende ontwerpen (zie principeschema).

We zien dat beide versterkers een zgn bootstrap terugkoppeling hebben d.m.v. C711 en C731.

Deze schakeling is toegepast om een hoge ingangs-impedantie te verkrijgen. Het nadeel is echter dat bv. de basisspanning van TS516a hoger kan worden dan de kollektorspanning van TS516a, waardoor er basis-collektorstroom zou kunnen vloeien.

Met diodes D594, D591 kan dit voorkomen worden. Voor wat betreft de lagetonenversterker zullen in hetgeen volgt enige afwijkende schakelingen t.o.v. bekende ontwerpen besproken worden (zie Fig. 12). Het valt meteen op dat deze versterker symmetrisch gevoed wordt met +33 V en -33 V. Een uitgangseleco is daarom overbodig, zodat de luidspreker rechtstreeks aan punt A aangesloten is.

Dit betekent dat op punt A geen gelijkspanning aanwezig mag zijn.

Daarom is de basis van TS525 op 0 Volt gebracht via weerstanden R1071 en R1069. Daar deze weerstanden samen 10,1 kΩ vertegenwoordigen loopt er slechts een heel kleine basisstroom, zodat de basis van TS525 nauwelijks op 0 Volt staat.

De basisstroom van TS526 is dezelfde als die van TS525 omdat R1075 een waarde heeft van 10 kΩ.

De basisspanning op punten C en B zijn dus in principe gelijk aan 0 Volt.

Is dit niet zo, dan gebeurt korrektie als volgt: Stel dat punt A naar -1 V wil gaan (bijvoorbeeld als TS537b meer stroom levert dan TS537a).

Punt B zal dan ook naar -1 V gaan.

De kollektorstroom van TS525 zal dus vermeerderen, evenals de kollektorstroom van TS528.

Dit betekent dat $I_1 > I_3$.

TS528 zal enerzijds stroom insturen in TS535a, en anderzijds de basisstroom van TS535b tegenwerken. De basisstroom van TS535a zal toenemen, evenals

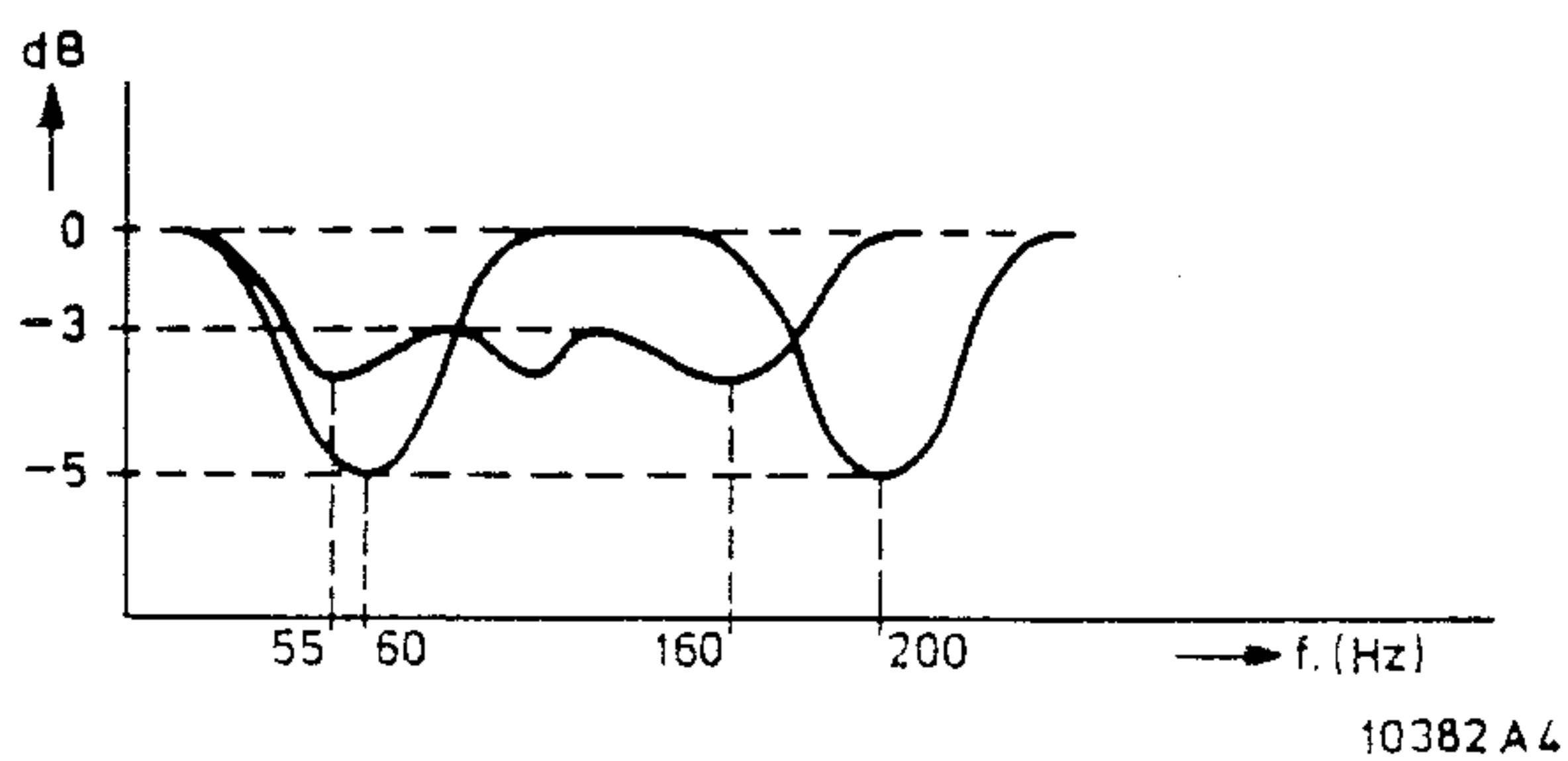


Fig. 5

De akoestische weergavekarakteristiek voor elke willekeurige plaats in een ruimte kan gekorrigeerd worden door het inschakelen van het (de) juiste korrektiefilter(s). Dit kan gebeuren door middel van drie schakelaars op het voorfront van de box.

Praktische uitvoering (zie Fig. 6)

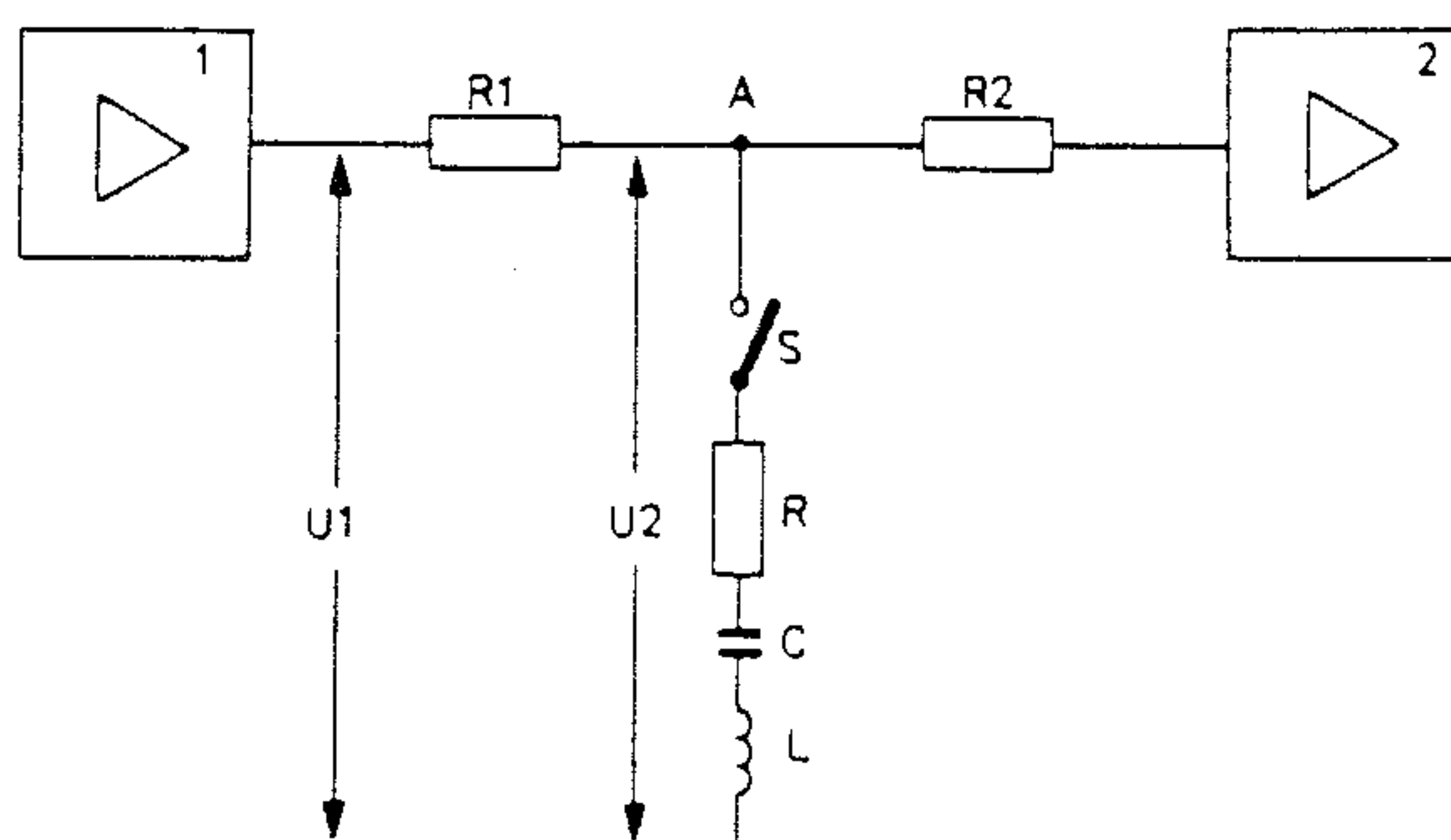


Fig. 6

In principe gebruikt men een serieresonantiekring die afgestemd is op de frekwentie die verzwakt dient te worden.

Voor een RLC seriekring geldt dat $Z = R + j\omega L + \frac{1}{j\omega C}$

Bij serieresonantie is het imaginaire gedeelte nul of

$$j\omega L + \frac{1}{j\omega C} = 0. \text{ In absolute waarde is dan } C = \frac{1}{\omega^2 L}$$

Neemt men voor L bv. 0,5 mH dan zou de bijbehorende condensator bij 60 Hz een waarde dienen te hebben van 13.000 μF . Uit deze onpraktische waarde blijkt dat de keuze van een passieve LC combinatie economisch niet te verantwoorden is.

Daarom heeft men een "kunst" L toegepast.

Deze "kunst" L wordt gerealiseerd d.m.v. een gyrator. Een gyrator zorgt er voor dat een condensator die aan de uitgangspolen wordt aangesloten, aan de ingang als een zelfinductie functioneert (zie Fig. 7).

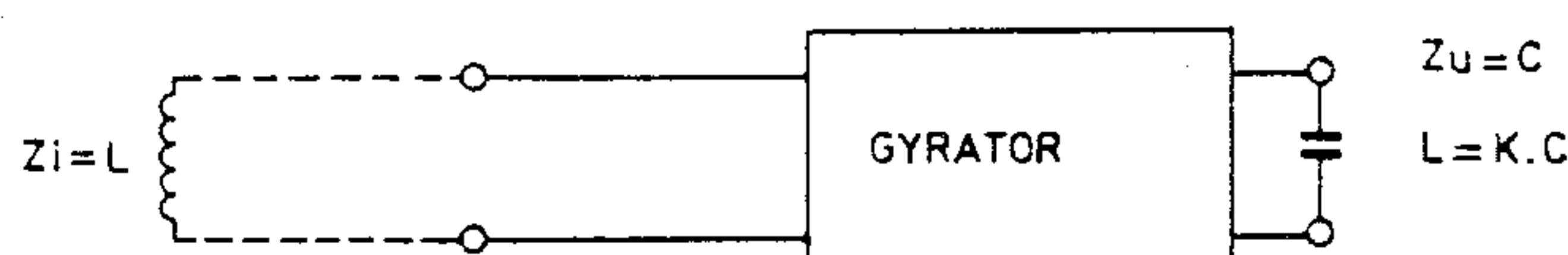


Fig. 7

De werking van de gyrator wordt later beschreven. Indien schakelaar S in Fig. 6 gesloten wordt, ontstaat bij resonantie: $Z = R$.

De spanningsdeling die op punt A verkregen wordt

$$\text{kan men voorstellen door } \frac{U_2}{U_1} = \frac{R}{R+R_1}$$

Dit mag men stellen omdat de ingangsimpedantie van versterker 2 $\gg R$ (Versterker 2 = emittervolgversterker).

Voorbeeld (zie principeschema)

Als schakelaar H gesloten wordt, ontstaat er bij

$$\text{resonantie een spanningsdeling van } \frac{U_2}{U_1} = \frac{R_{914}}{R_{914}+R_{856}}$$

$$\frac{8,2k}{8,2k+8,2k} = \frac{1}{2}$$

Deze spanningsdeling impliceert een verzwakking van 6 dB. We zien in Fig. 4 dat voor positie "zijkant luidsprekerbox tegen wand" een frekwentieband van 55 tot 160 Hz bestreken dient te worden. Dit bereikt men door drie RLC kringen met drie verschillende eigenresonanties parallel te schakelen (zie Fig. 8)

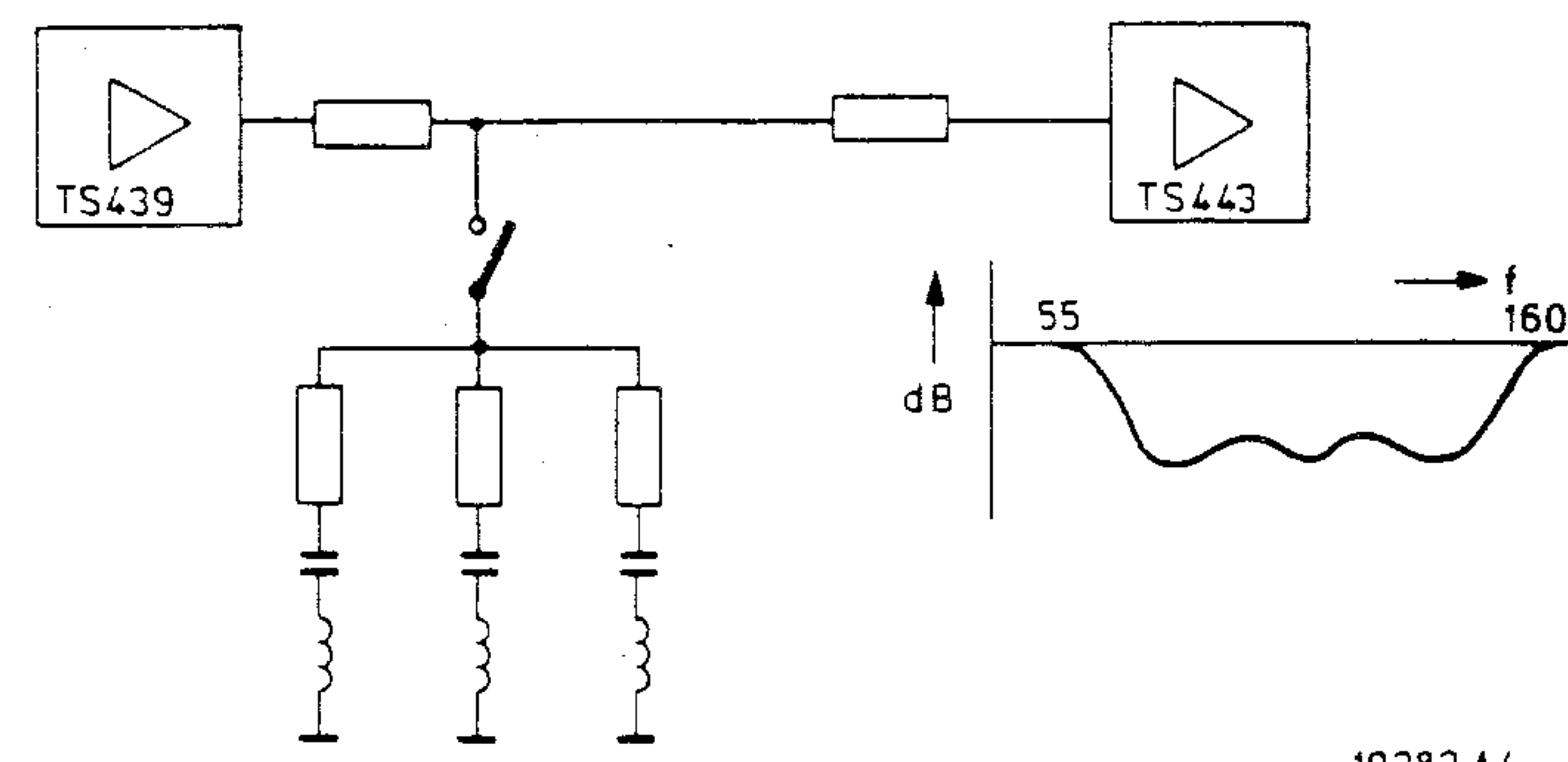


Fig. 8

Om de gyratorwerking stabiel te houden, gebruikt men voor de voeding een konstante stroombron die gevormd wordt door de basis van TS460 op een konstante spanning te fixeren d.m.v. D570 (Fig. 9)

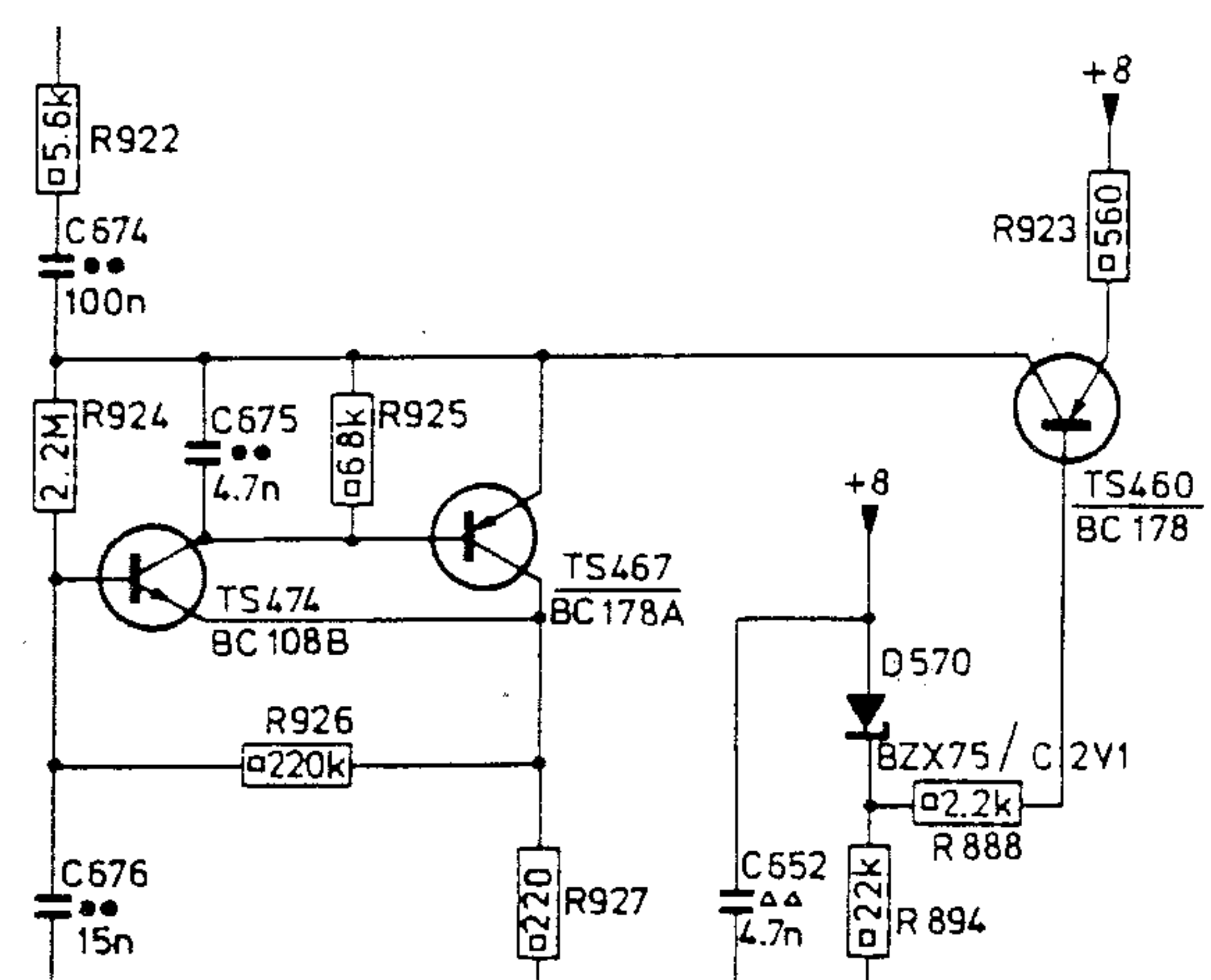


Fig. 9

Werking gyrator (zie Fig. 10)

De basisschakeling bestaat uit twee antiparallel geschakelde versterkers A en B.

De steilheid van versterker A is g_1 (A/V)

De steilheid van versterker B is g_2 (A/V)

$$\text{Men weet ook dat } I_2 = g_1 \cdot U_1 \rightarrow U_1 = \frac{I_2}{g_1}$$

$$I_1 = g_2 \cdot U_2$$

de kollektorstroom van TS537a. De basisstroom van TS535b zal afnemen, evenals de kollektorstroom van TS537b. Punt A zal dus weer naar 0 Volt gaan. D573 vormt met TS481 een constante stroombron. Men kan gemakkelijk inzien dat het signaal in de lagetonenversterker geen doorgang kan vinden zolang als C687 niet opgeladen is. Op die manier zijn er geen hinderlijke inschakelverschijnselen hoorbaar. Voorts bevinden zich in deze versterker nog twee andere stroombronnen, nl. TS527 met D600 en TS530 met D600. Dit betekent dat de kollektorstromen van TS527 en TS530 constant zijn. Transistor TS525 vormt met transistor TS526 een differentiaalversterker. De terugkoppelfactor van de lagetonenversterker is gelijk aan

$$\frac{R_{1077}}{R_{1075}+R_{1077}} = \frac{1}{101}$$

De rondgaande versterking is dus gelijk aan 101. Voor hogere frekwenties gebeurt de terugkoppeling via C745, R1076, R1077 en C749. Voor nog hogere frekwenties gebeurt de terugkoppeling via C747, R1077 en C749.

Op punten B en C staat dus hetzelfde wisselspanningssignaal. Is dit niet zo, dan zal korrektie op de volgende manier plaatsvinden:

Stel dat op punt C 150 mV en op punt B 100 mV staat. Dit betekent dat op punt A een te kleine wisselspanningsvariatie aanwezig zou zijn. TS525 wordt nu meer opengestuurd dan TS526.

De kollektorstroom van TS525 zal dus toenemen (De kollektorstroom van TS526 zal in dezelfde mate afnemen omdat TS527 een constante stroom levert). De spanning op de kollektor van TS525 daalt, zodat

de spanning op de basis van TS528 negatiever wordt t.o.v. de emitor. TS528 wordt dus verder opengestuurd, zodat de kollektorstroom van TS528 toeneemt (I_1). Zoals eerder vermeld is de kollektorstroom van TS530 (I_3) constant. Alle stroom die TS528 dus meer levert dan dat via TS530 kan wegvliesen, wordt via R1088 ingestuurd op de basis van TS535a. Dit betekent dat de kollektorstroom van TS535a ook stijgt, en dus ook de kollektorstroom van TS537a. De uitgangsspanning op punt A zal dus toenemen, tot de spanning in punt B ook 150 mV bedraagt. D601 en D598 zijn aangebracht om uitschakelverschijnselen te vermijden.

D599 is aangebracht om beide eindtrappen symmetrisch te maken.

Bekijken we de signaaldoorgang van punt D naar punt A, dan blijkt dat er twee basis-emitterovergangen doorlopen moeten worden, nl. V_{BE} van TS535 en V_{BE} van TS539.

Om ook de signaaldoorgang van punt E naar A via twee basis-emitterovergangen te laten lopen is D599 toegevoegd.

D602 is om volgende reden toegevoegd:
Stel dat R1074 aan massa zou liggen in plaats van via D602 aan de positieve voedingsspanning.

Als zekering VL418 dan zou doorslaan, dan zou er geen stroom meer vloeien door TS528.

Dit betekent dat TS530 een zeer grote basisstroom zou veroorzaken in TS535b, zodat deze trap vernietigd zou kunnen worden. Als D602 wordt toegevoegd staat er over D600 geen spanning meer als VL418 doorslaat, zodat door TS530 ook geen stroom kan vloeien.

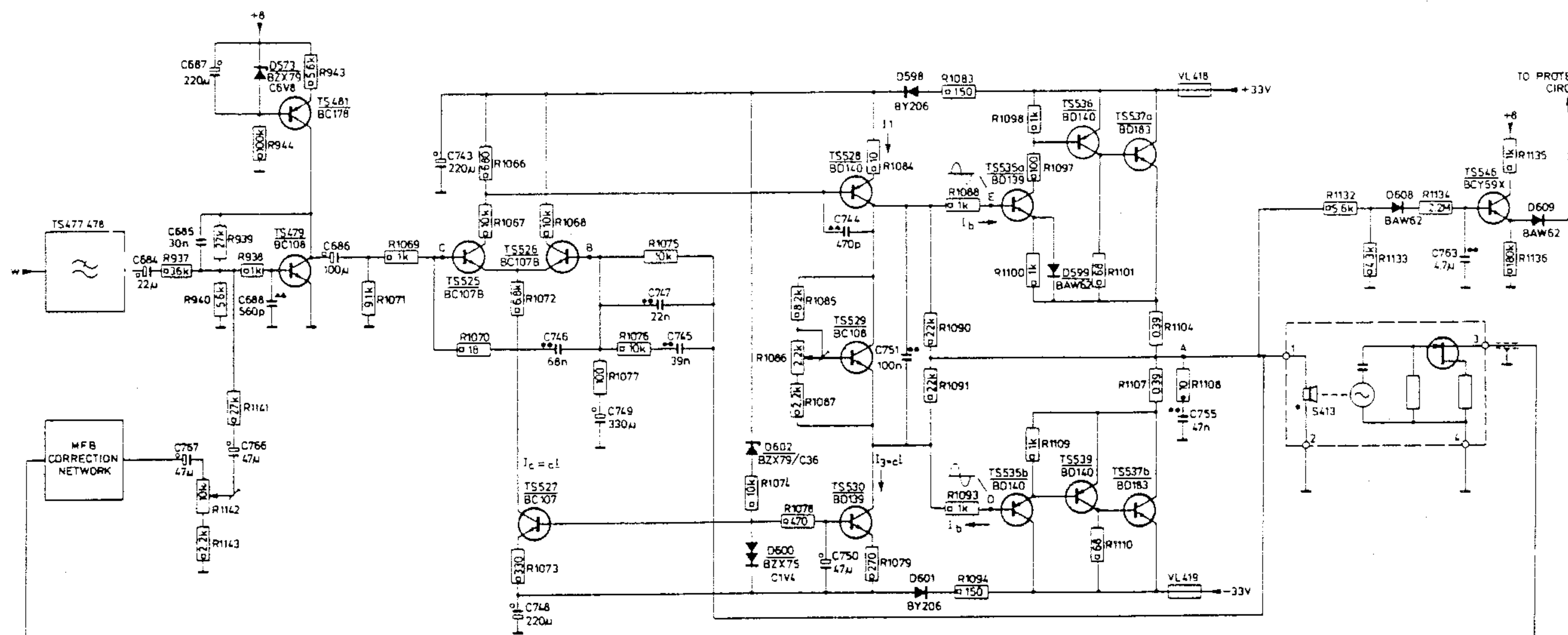


Fig. 12

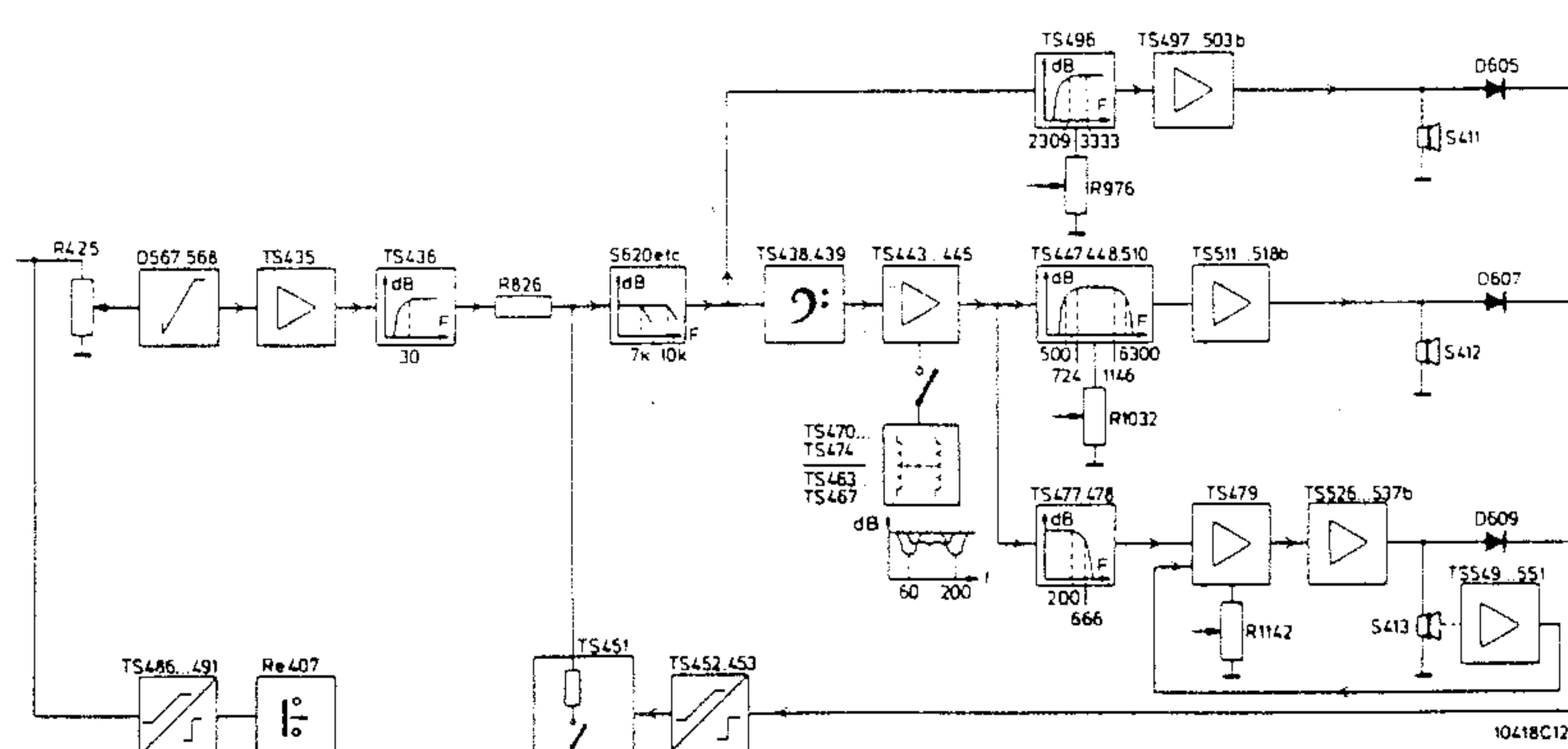
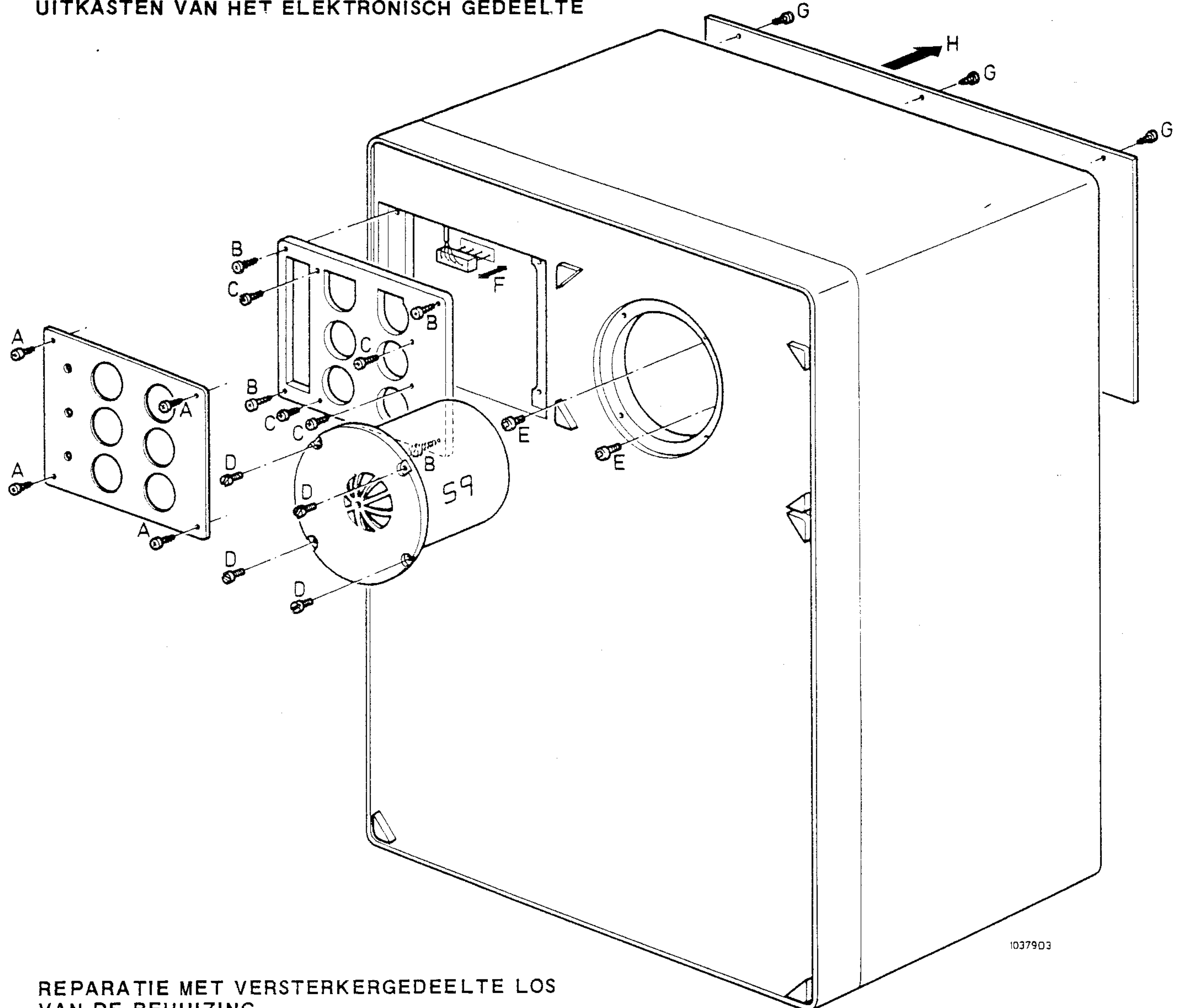
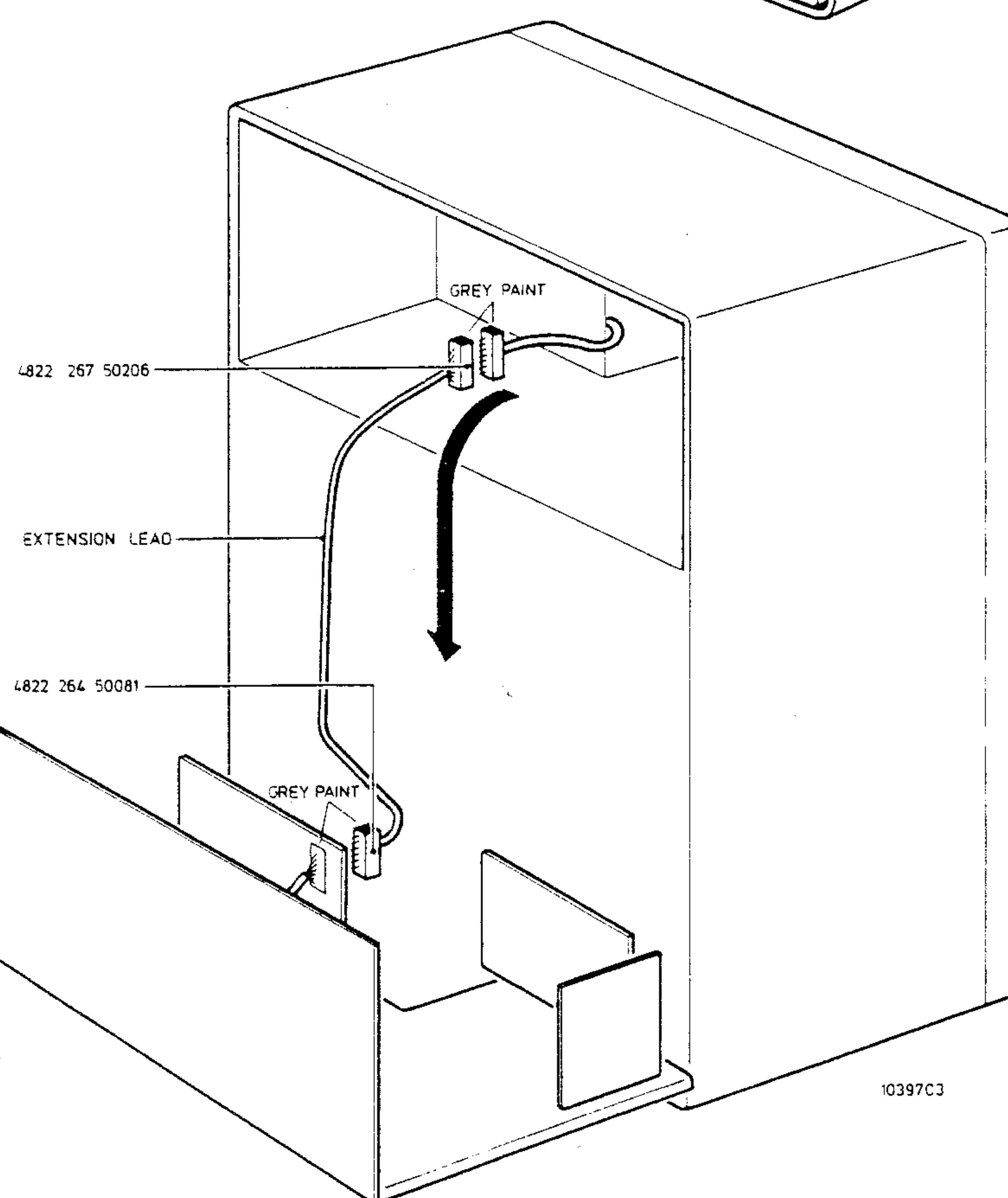


Fig. 2

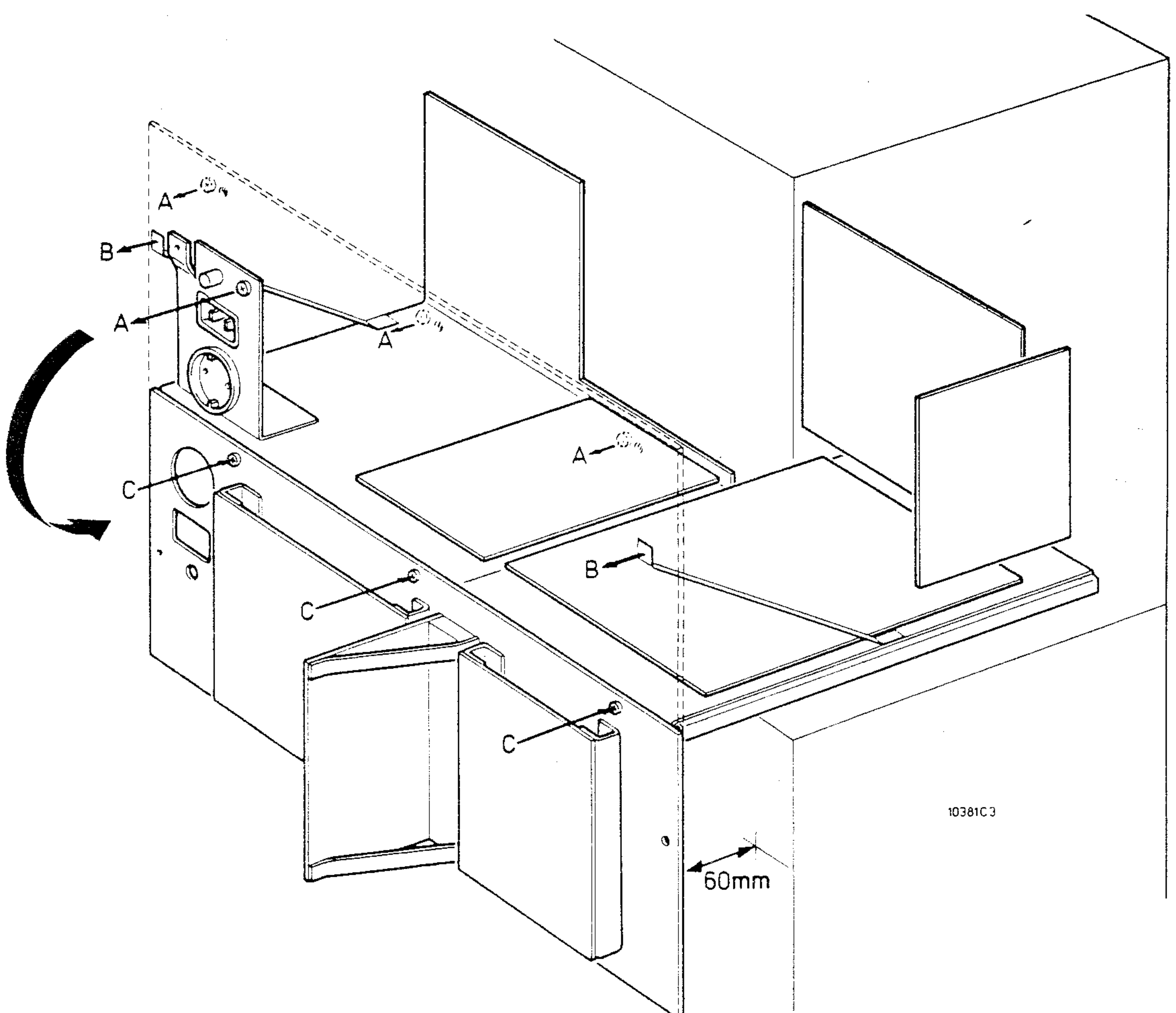
UITKASTEN VAN HET ELEKTRONISCH GEDEELTE



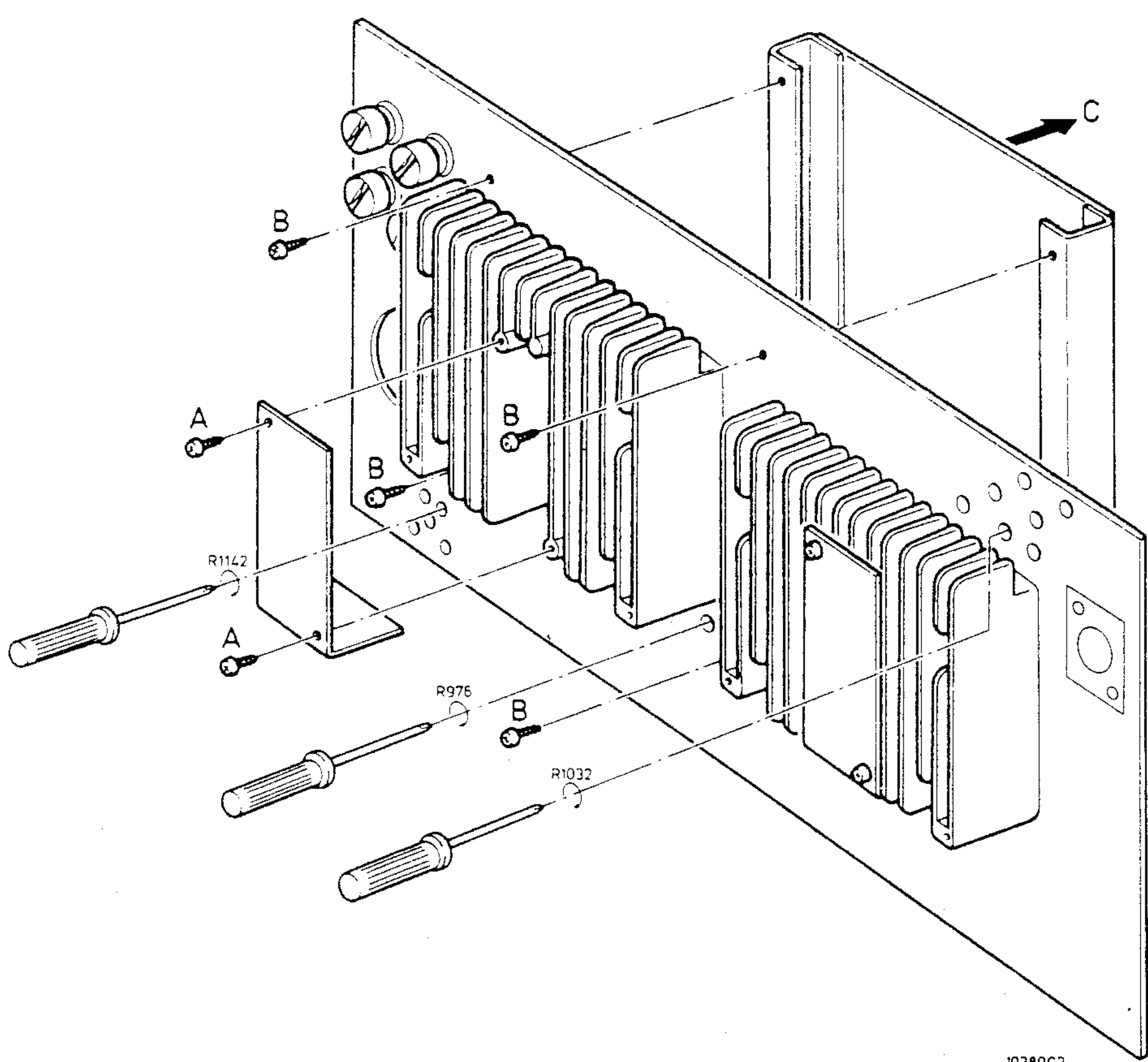
REPARATIE MET VERSTERKERGEDEELTE LOS
VAN DE BEHUIZING



UITVOEREN VAN METINGEN AAN HET APPARAAT



VERVANGEN VAN DE EINDTRANSISTOREN



AFREGELVOORSCHRIFTEN

Volgens de specifikatievoorschriften moet de weergavekromme van dit apparaat binnen + of -1 dB liggen (zie Fig. 1).

Het spreekt vanzelf dat met de spreiding in de componenten dergelijke specifikatie niet haalbaar is. Daarom kan het niveau van de lage-, de midden- en de hogetonenversterker ingesteld worden met behulp van respektievelijk R1142, R1032 en R976.

Tijdens produktie wordt het apparaat akoestisch gemeten in een dode kamer en daarna afgeregeld m.b.v. R1142, R1032 en R976 (zie Fig. 2).

Het probleem om de box binnen specifikatie te repareren kan tweeledig gesteld worden.

- a. Voldoet het apparaat na vervanging van een of meerdere komponenten in de eindversterker nog aan de specifikatieeisen.
- b. Voldoet het apparaat na vervanging van een of meerdere luidsprekers nog aan de specifikatie-eisen.

Voor wat betreft het remplaceren van onderdelen in een van de versterkers kan men zonder meer stellen dat hierdoor geen afbreuk gedaan wordt aan de specifikatie. De drie versterkers zijn zo sterk tegen gekoppeld dat de rondgaande versterking alleen nog bepaald wordt door de komponenten uit het terugkoppelnetwerk en niet door de komponenten uit het versterkergedeelte.

Voor wat betreft het remplaceren van een of meer luidsprekers ligt de zaak enigszins anders. De gebruikte luidsprekers kunnen namelijk een tolerantie hebben van $\pm 1,5$ dB, voor wat betreft het akoestisch rendement.

In extreme gevallen, betekent dit, dat indien aan twee identieke luidsprekers hetzelfde elektrisch vermogen wordt toegevoerd, het akoestisch vermogen 3 dB kan verschillen. Het is dus duidelijk dat een apparaat niet volgens de specifikatieeisen gerepareerd kan worden zonder de beschikking te hebben over een dode kamer waarin akoestische metingen verricht kunnen worden.

Daarom is er voor servicedoeleinden een andere oplossing gevonden. Concern Service levert luidsprekers waarop aan de achterkant een sticker geplakt is met daarop een spanningswaarde x vermeld. Deze spanningswaarde x komt overeen met het in een dode kamer gemeten akoestische vermogen. Dit gemeten akoestische vermogen voldoet aan de specifikatieeisen.

Wanneer een of meerdere luidsprekers uitgewisseld worden dient volgende procedure gevolgt te worden. Maak eerst de volgende instellingen:

- Knob "sensitivity" in stand "1 Volt"
- Knob "automatic" in stand "off asymmetric"
- Knob "roll off frequency" in stand "off"
- Knobs "corrections low" in stand "off"
- Knob "treble roll off" in stand "0 dB"
- Knob "bass control" in stand "0 dB",

- Hogetonenluidspreker:
Aan asymmetrische ingangsplug 50 mV sinus, 6300 Hz toevoeren.

R976 zodanig instellen, dat men over de luidspreker dezelfde waarde meet als op de luidspreker vermeld wordt.

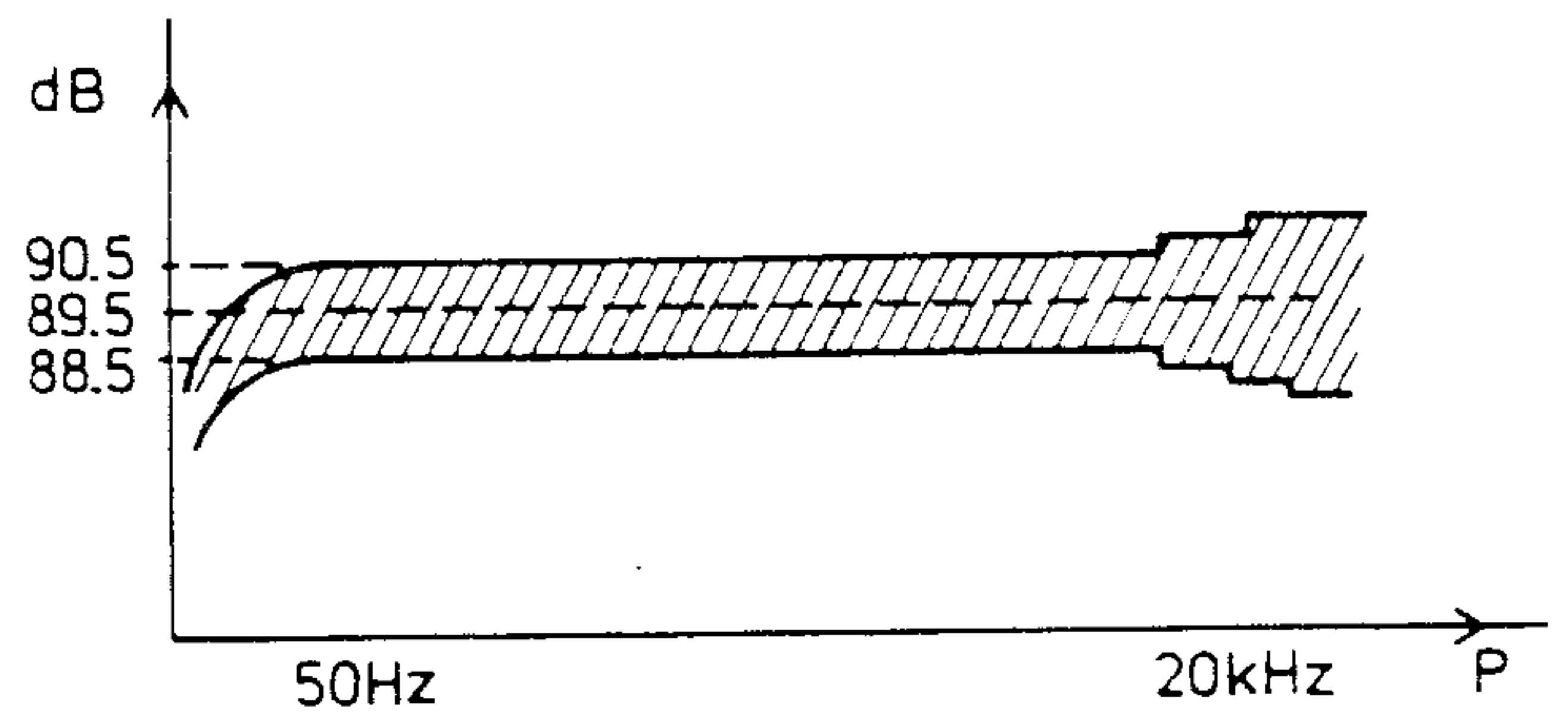
- Middentonnenluidspreker:
Aan asymmetrische ingangsplug 50 mV sinus, 1100 Hz toevoeren.

R1032 zodanig instellen dat men over de luidspreker dezelfde waarde meet als op de luidspreker vermeld wordt.

- Lagetonnenluidspreker
Aan asymmetrische ingangsplug 50 mV sinus, 160 Hz toevoeren.

R1142 zodanig instellen dat men over de luidspreker dezelfde waarde meet als op de luidspreker vermeld wordt. Op deze wijze is meteen ook de akoestische terugkoppeling korrekt ingesteld.

Bovenvermelde procedure impliceert, dat de box binnen de specifikatieeisen gerepareerd kan worden.

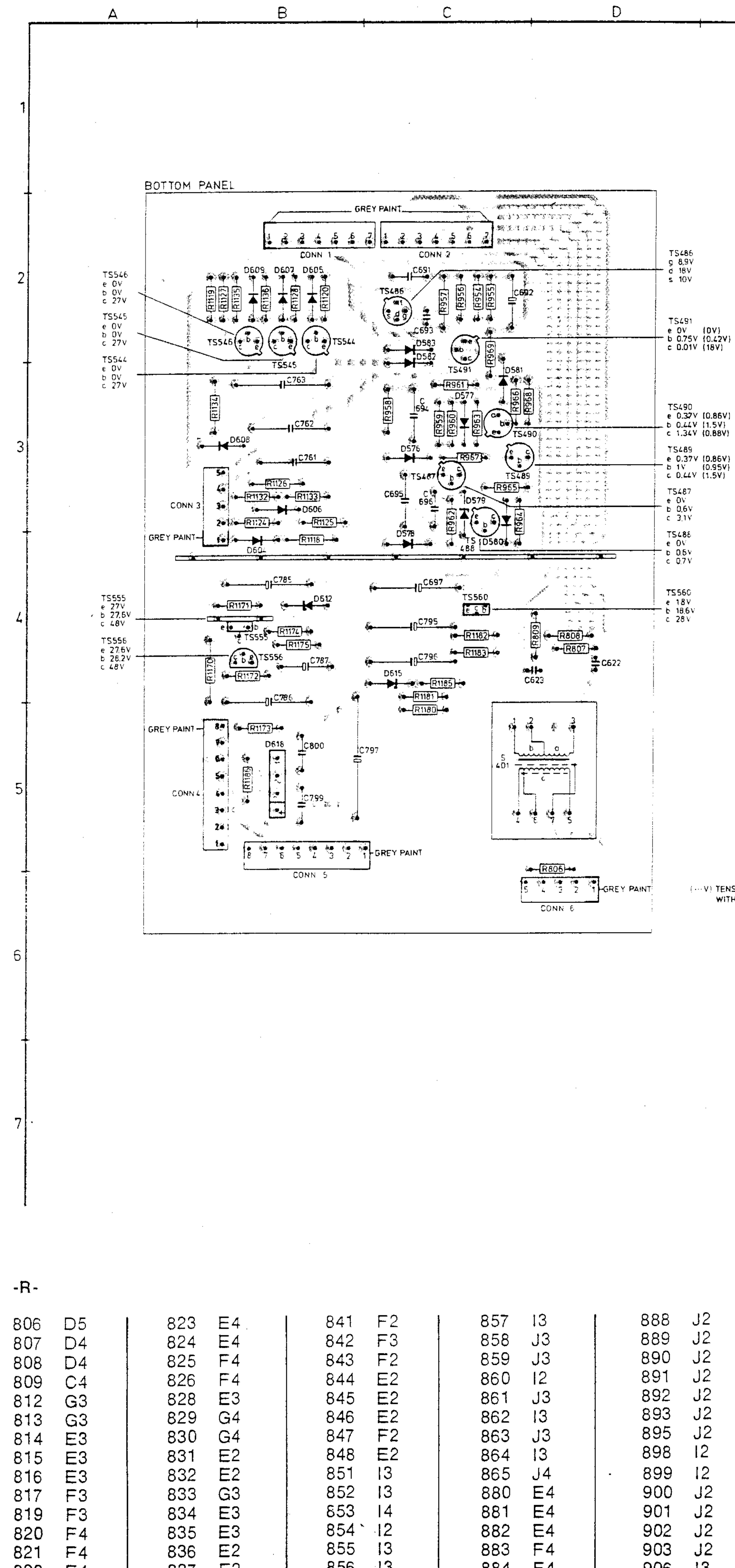


10417A12

Fig. 1

-R-			-TS-		
425	Potmeter 200 kΩ lin.	4822 101 20473	435	BC178B	5322 130 40348
427	Potmeter 20 kΩ log.	4822 101 30317	436,443÷445		
429	Potmeter 20 kΩ lin.	4822 101 90067	463÷467,	BC178A	5322 130 40348
809	5100 Ω	4822 110 60126	496,510		
821	Met.film res. 3320 Ω	5322 116 54005	437,439,447,		
822,847,{ 1156}	Met.film res. 47 kΩ	5322 116 54671	456÷460,	BC178	5322 130 40355
832,1075	Met.film res. 10 kΩ	5322 116 54619	477,481,549		
833	1100 Ω	4822 110 60108	438,550	BC109B	5322 130 40145
834	Met.film res. 100 kΩ	5322 116 54696	448,478,479,		
843,1153	Met.film res. 470 kΩ	5322 116 54336	490,511,	BC108	5322 130 40309
891,900, 908,916, 924,1118,{ 1126,1134}	Met.film res. 2.2 MΩ	4822 110 42196	529,551		
939,977	Met.film res. 27 kΩ	5322 116 54652	451÷453,		
940	Met.film res. 5.6 kΩ	5322 116 54011	470÷474	BC108B	5322 130 40343
976	Multiturn potm. 220 Ω	4822 101 90066	488,489,491		
978	Met.film res. 22 kΩ	5322 116 54003	486	BFW11	5322 130 40408
979,1021	Met.film res. 46 kΩ	5322 116 50557	487	BC108C	5322 130 40368
982,1019,{ 1020}	Met.film res. 15 kΩ	5322 116 54001	497	BC548	4822 130 40938
986	Met.film res. 1.5 kΩ	5322 116 54564	560	BD135	5322 130 40645
989	Met.film res. 681 Ω	5322 116 54534	498,512,556	BC546	4822 130 41001
997	Trimpotm. 1 kΩ	4822 100 10037	502a-b,{ 516a-b}	Pair BD137/BD138	4822 130 40704
1007,1011	W.W.res. 2.6 W 1.5Ω	5322 113 60092	503a-b	Pair BD203/BD204	4822 130 41091
1026	Met.film res. 18.2 kΩ	5322 116 54638	517,520	BD138	5322 130 40665
1030	Met.film res. 33.2 kΩ	5322 116 54005	525,526	BC107B	5322 130 40332
1031	Met.film res. 26.7 kΩ	5322 116 54578	518a-b	Pair BD182/BD182	4822 130 40905
1032	Trimpotm. 220 Ω	4822 101 10046	527	BC107	5322 130 40357
1040	Trimpotm. 2200 Ω	4822 100 10029	528,536,539	BD140	5322 130 40824
1054,1057,{ 1104,1107}	W.W.res. 2.6 W,0.39Ω	5322 113 60093	530	BD139	5322 130 40823
1071	9100 Ω - 1/3 W	4822 110 60133	535a-b	Pair BD139/BD140	4822 130 40849
1077	Met.film res. 100 Ω	5322 116 54469	537a-b	Pair 2-BD183	4822 130 41089
1086	Trimpotm. 2.2 kΩ	4822 100 10029	544÷546	BCY59X	5322 130 44453
1125,1133	4300 Ω - 1/3 W	4822 110 60124	555	BD137	5322 130 40664
1142	Trimpotm. 10 kΩ	4822 101 10021			
1160	Met.film res. 8.2 kΩ	5322 116 54558			
1162	Met.film res. 1 kΩ	5322 116 54549			
1187	VDR	4822 116 21038			
-D-			-C-		
567,568	BZX79/C12	5322 130 34197	631	Micropoco 2N2 1%	4822 121 50415
570	BZX75/C2V1	5322 130 34049	633	Micropoco 1N 2%	4822 121 50424
571	BZX79/C9V1	5322 130 34165	635,647	Micropoco 10N 1%	5322 121 54154
573	BZX79/C6V8	5322 130 30768	636	Micropoco 3N6 1%	4822 121 50543
576÷578,{ 580,581}			646	Micropoco 12N 1%	4822 121 54162
582,591,{ 594,595}, 599, 604÷609	BAW62	5322 130 30613	648	Micropoco 1N2 1%	5322 121 50438
579	BZX79/C4V7	5322 130 30773	682	Micropoco 15N 2%	5322 121 54152
583,598,601	BY206	4822 130 30839	685	Micropoco 30N 1%	4822 121 50606
585÷587	CQY24A	4822 130 30915	705÷707	Micropoco 4N7 1%	4822 121 50539
600	BZX75/C1V4	5322 130 34047	709	Micropoco 1N 1%	4822 121 50566
602	BZX79/C36	5322 130 34098	710	Micropoco 3N9 2%	4822 121 50091
612	BZX79/C27	5322 130 34148	716	Elco 680 μF-63 V	5322 124 74017
615	BZX79/C20	5322 130 30699	725÷727	Micropoco 22N 1%	4822 121 50609
616,617	B80C5500-3300	4822 130 50311	736	Elco 1500 μF-63V	4822 124 70246
618	BY164	5322 130 30414	777,778	Elco 2x3400 μF-40V	4822 124 70315
			778	Elco 2x2350 μF-63V	4822 124 70198
-Miscellaneous-			-S-		
Re407	Relais	4822 280 70157	403	Mains transformer 1	4822 146 70032
VL416	Fuse 1 A slow	4822 253 30021	405	Mains transformer 2	4822 146 20515
VL417	Fuse 2.5A slow	4822 253 30026	401	Input transformer	4822 146 20516
VL418,419	Fuse 3.15A slow	4822 253 30027	411	Speaker AD0162/T8	4822 240 70015
VLa,b,c	Transformerfuse	4822 252 20001	412	Speaker AD0210/SQ4	4822 240 50103
			413	Speaker AD12100/MFB4	4822 240 60076
			620	Coil 60 mH	4822 156 10346

-TS-	-C-
435	E3
436	E4
437	E3
438	E2
439	E2
443	J3
444	J3
445	J4
451	E4
452	E4
453	E4
456	J2
458	J3
460	J4
463	J2
464	J2
465	J3
466	J3
467	J4
470	J2
471	J2
472	J3
473	J3
474	J4
486	C2
487	C3
488	C3
489	C3
490	C3
491	C2
544	B2
545	B2
546	B2
555	B4
556	B4
557	J2
560	C4
	693
-S-	694
	695
401	D5
620	G4
-D-	761
	762
567	F2
568	F2
570	I2
571	F4
576	C3
577	C3
579	C3
580	C3
581	C3
582	C2
583	C2
585	G1
586	G1
587	G1
605	B2
606	B3
607	B2
608	B3
609	B2
612	B4
615	C4
618	B5



F

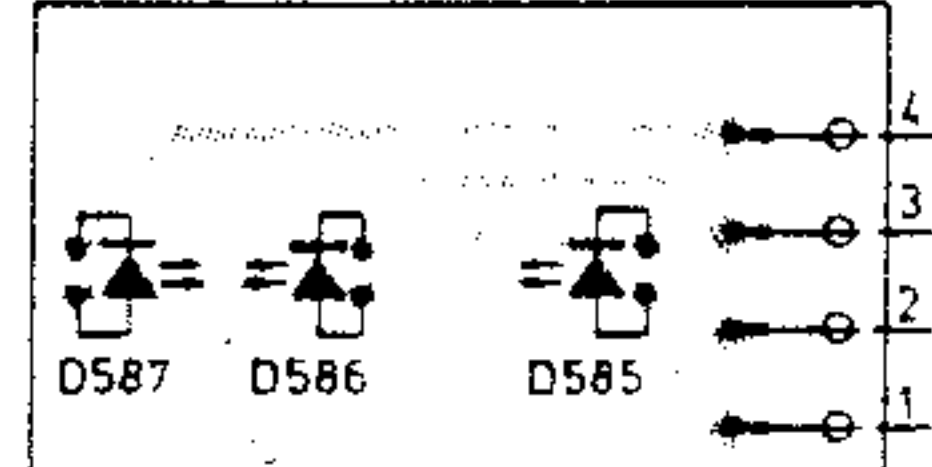
G

H

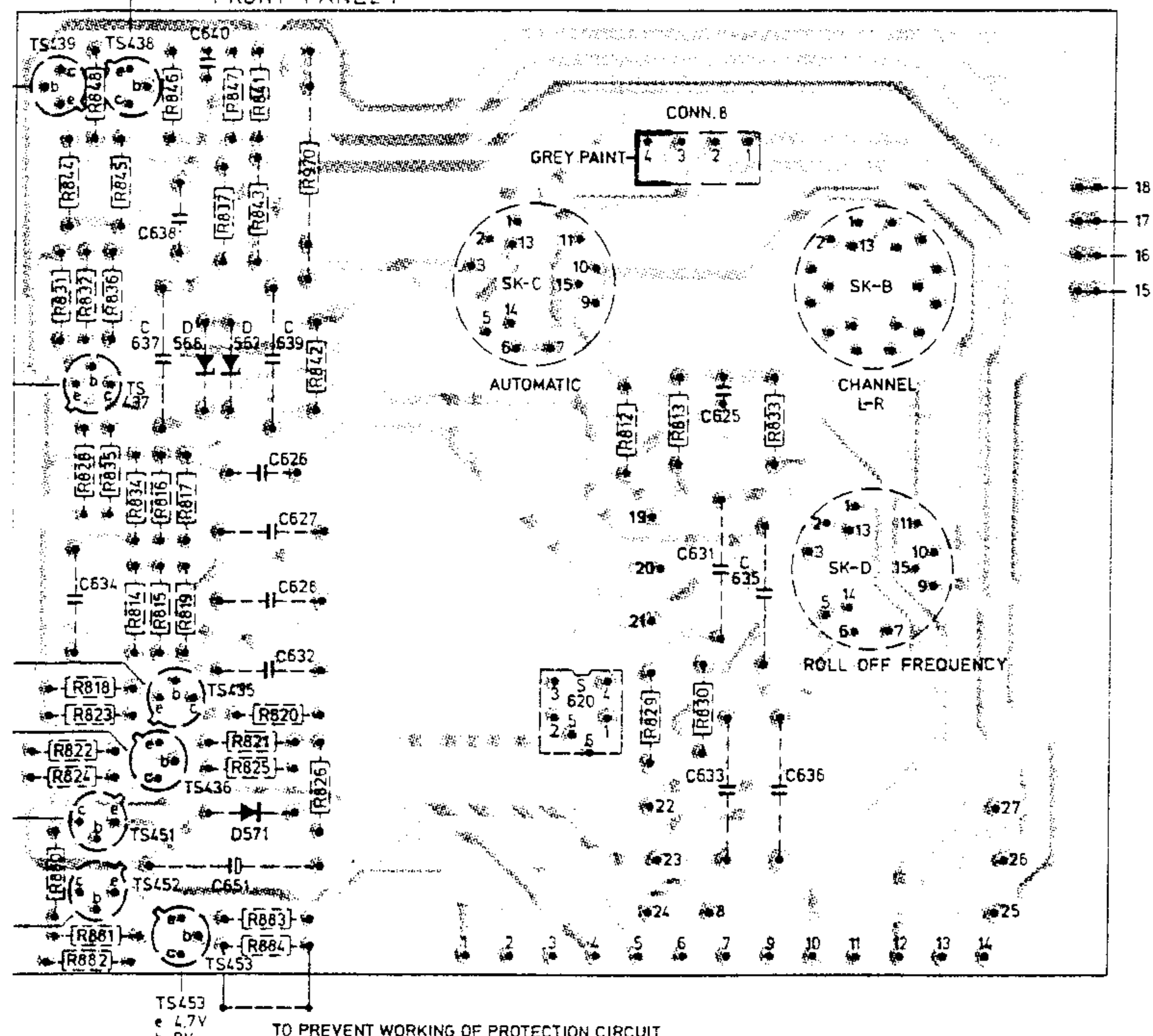
I

J

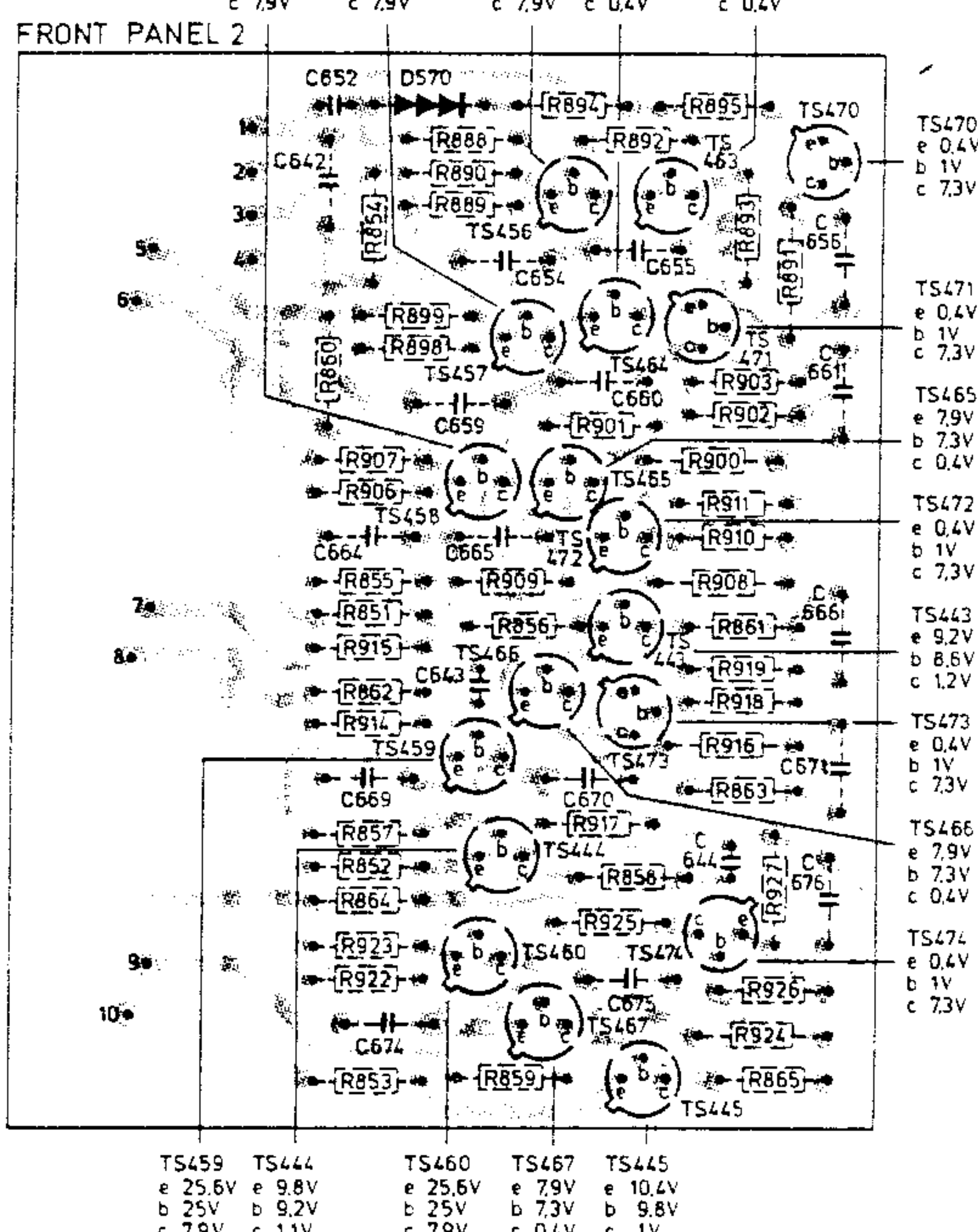
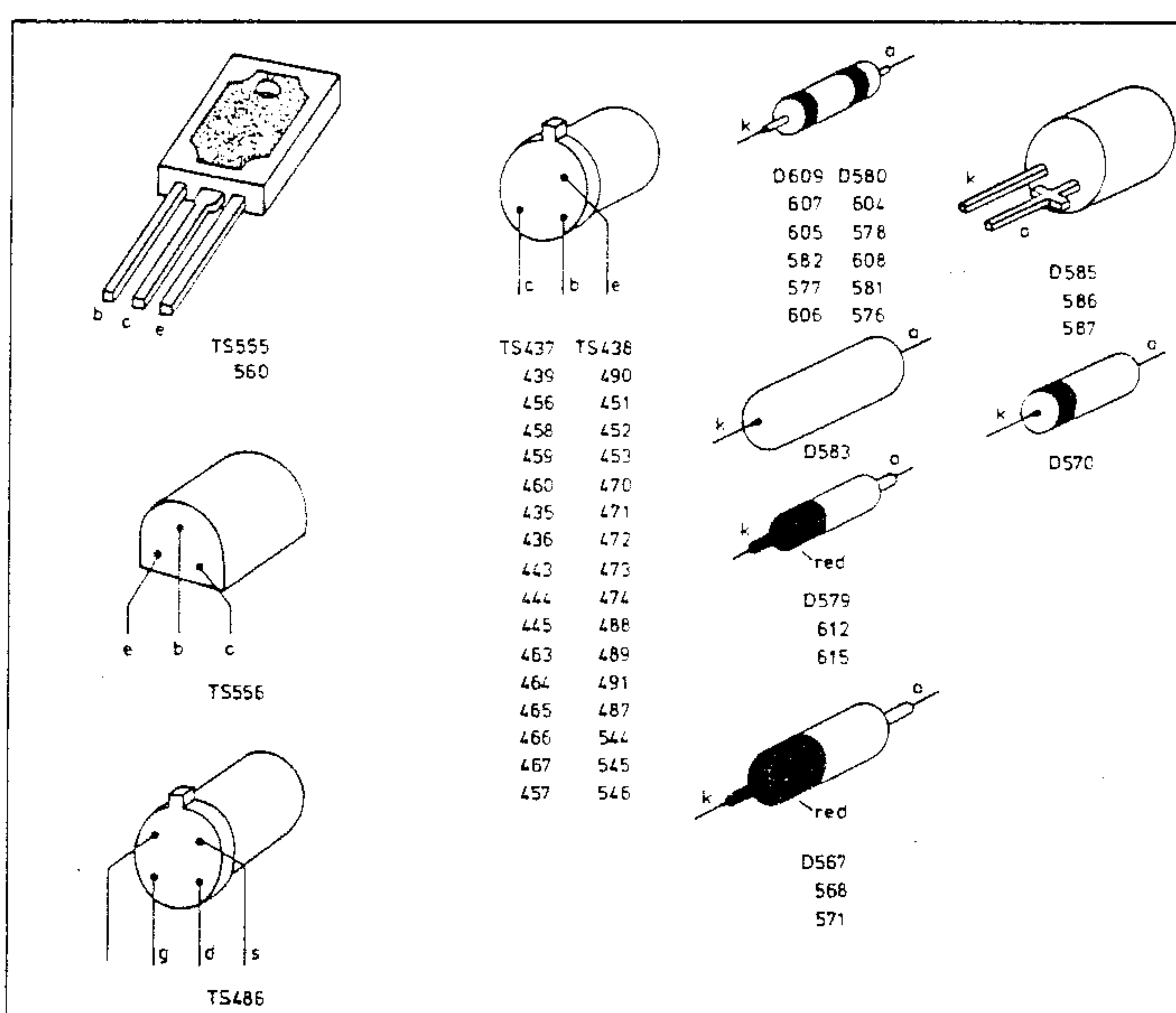
LED PANEL

TS438
e 0.17V
b 0.77V
c 7.8V

FRONT PANEL 1

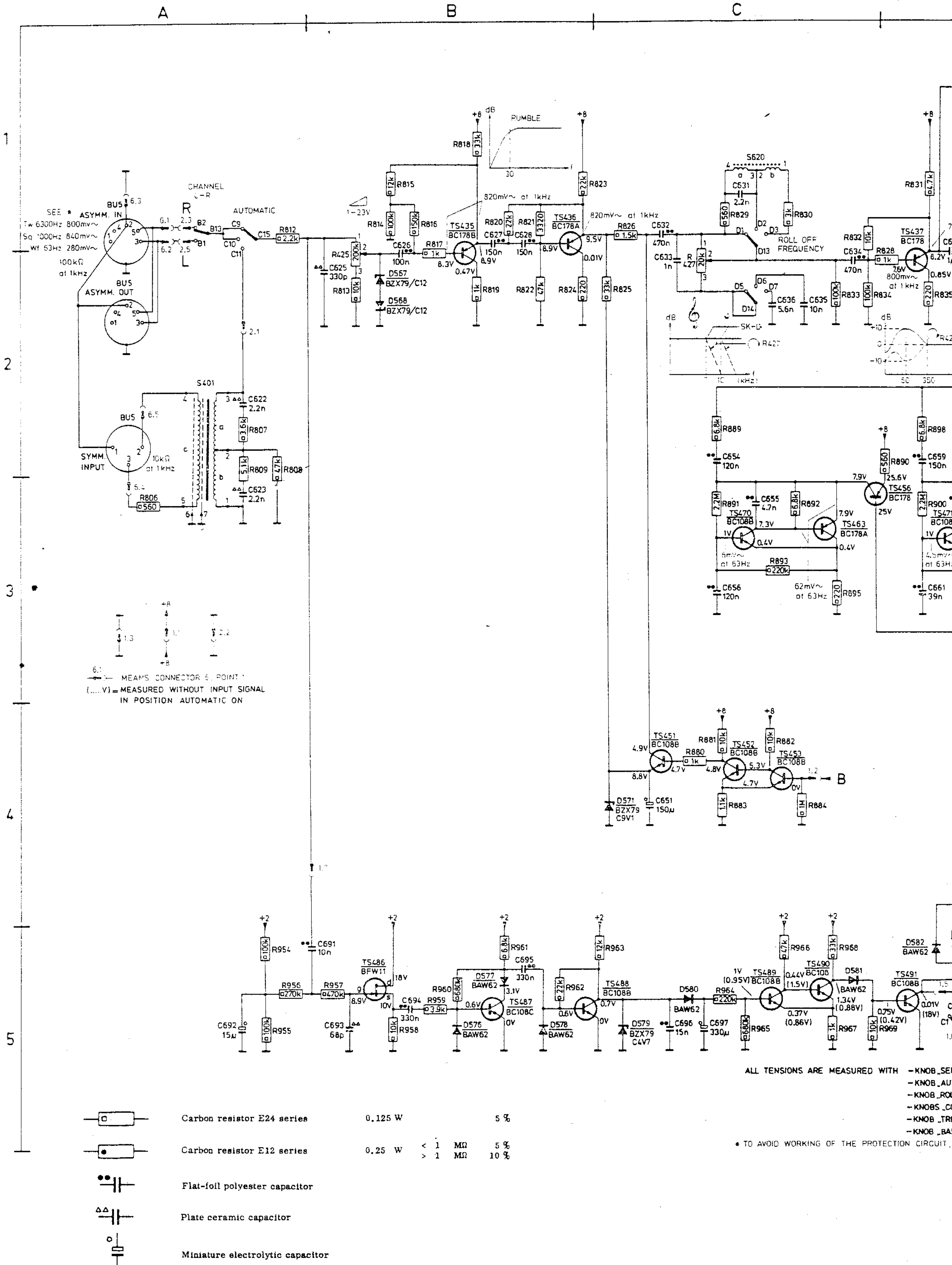
TO PREVENT WORKING OF PROTECTION CIRCUIT,
SHORT CIRCUIT R884RED IN POS. AUTOMATIC ON
IGNAL

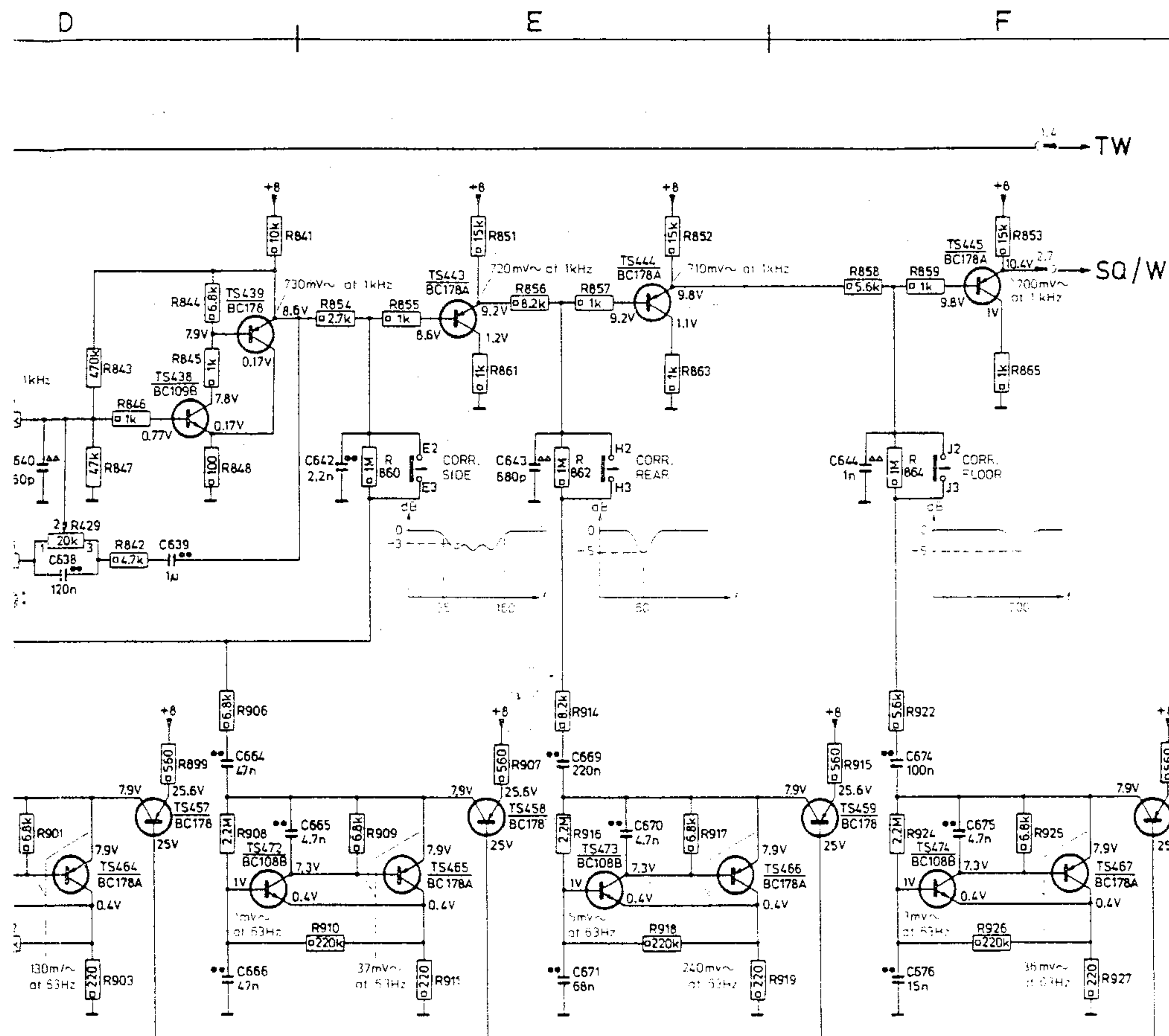
FRONT PANEL 2

TS459 TS444
e 25.6V e 9.8V
b 25V b 9.2V
c 7.9V c 1.1VTS460 TS467 TS445
e 25.6V e 7.9V e 10.2V
b 25V b 7.3V b 9.8V
c 7.9V c 0.4V c 1VTS470
e 0.4V
b 1V
c 7.3VTS471
e 0.4V
b 1V
c 7.3VTS465
e 7.9V
b 7.3V
c 0.4VTS472
e 0.4V
b 1V
c 7.3VTS443
e 9.2V
b 8.6V
c 1.2VTS473
e 0.4V
b 1V
c 7.3VTS466
e 7.9V
b 7.3V
c 0.4VTS474
e 0.4V
b 1V
c 7.3V

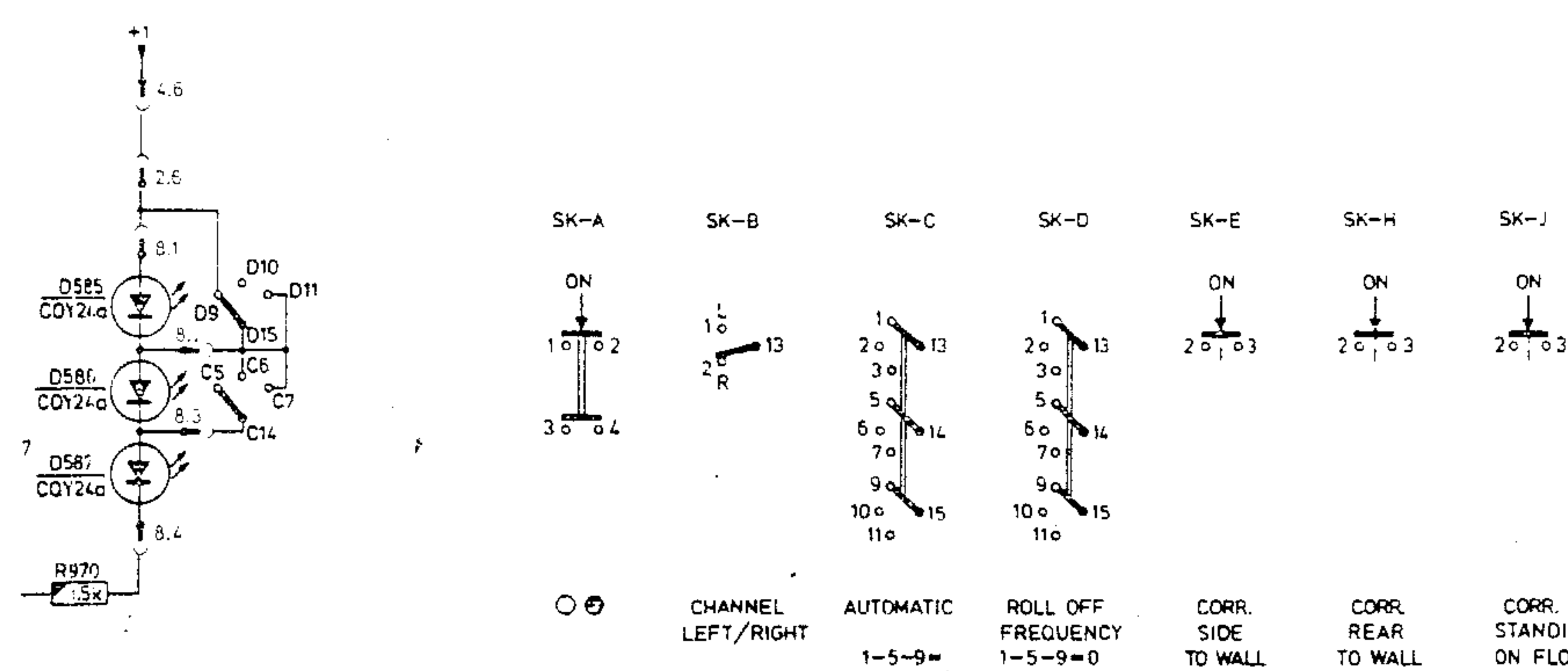
10372E12

907	I2	925	J4	966	C3	1134	B3
908	J3	926	J4	967	C3	1135	B2
909	J3	927	J3	968	C3	1136	B2
910	J3	954	C2	969	C2	1170	B4
911	J3	955	C2	970	F2	1171	B4
914	I3	956	C2	1119	B2	1172	B4
915	I3	957	C2	1120	B2	1173	B5
916	J3	958	C3	1124	B3	1174	B4
917	J3	959	C3	1125	B3	1175	B4
918	J3	960	C3	1126	B3	1180	C5
919	J3	961	C3	1127	B2	1181	C4
922	I4	962	C3	1128	B2	1182	C4
923	I4	963	C3	1132	B3	1183	C4
924	J4	964	C3	1133	B3	1185	C4
				1186	B5		





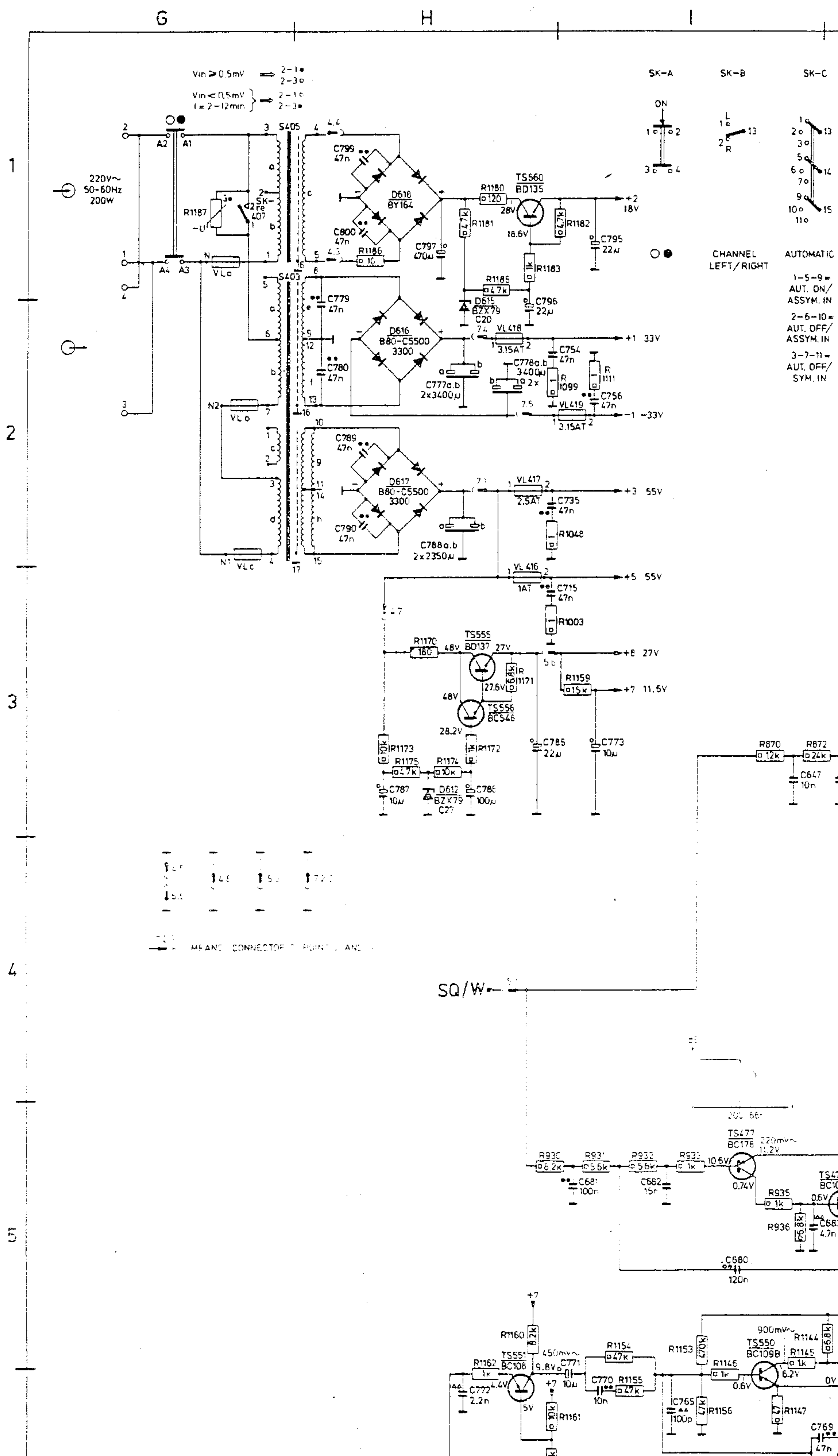
-TS-		-C-		-R-		
435	B1	622	A2	425	B1	865
436	B1	623	A3	427	C2	880
437	D2	625	B2	429	D2	881
438	D1	626	B1	806	A3	882
439	D1	627	B1	807	A2	883
443	E1	628	B1	808	A2	884
444	E1	631	C1	809	A2	888
445	F1	632	C1	812	A1	889
451	C4	633	C2	813	B2	890
452	C4	634	C2	814	B1	891
453	C4	635	C2	815	B1	892
456	C3	636	C2	816	B1	893
457	D3	637	D1	817	B1	894
458	E3	638	D2	818	B1	895
459	F3	639	D2	819	B2	898
460	F3	640	D2	820	B1	899
463	C3	642	E2	821	B1	900
464	D3	643	E2	822	B2	901
465	E3	644	F2	823	B1	902
466	E3	651	C4	824	B2	903
467	F3	652	E4	825	C2	906
470	C3	654	C2	826	C1	907
471	D3	655	D3	828	C2	908
472	D3	656	D3	829	C1	909
473	E3	659	D2	830	C1	910
474	F3	660	D3	831	D1	911
486	B5	661	D3	832	C1	914
487	B5	664	D2	833	C2	915
488	B5	665	D3	834	C2	916
489	C5	666	D3	835	D2	917
490	C5	669	E2	836	D2	918
491	D5	670	E3	837	D1	919
		671	E3	841	D1	922
		674	F2	842	D2	923
-S-		675	F3	843	D1	924
		676	F3	844	D1	925
401	A2	691	A5	845	D1	926
620	C1	692	A5	846	D1	927
		693	B5	847	D2	954
		694	B5	848	D2	955
-Re-		695	B5	851	E1	956
		696	C5	852	E1	957
407	D5	697	C5	853	F1	958
-D-				854	E1	959
				855	E1	960
567	B2			856	E1	961
568	B2			857	E1	962
570	E3			858	F1	963
571	C4			859	F1	964
576	B5			860	E2	965
577	B5			861	E1	966
578	B5			862	E2	967
579	C5			863	E1	968
580	C5			864	F2	969
581	C5					970
582	D5					D5
583	D5					
585	D4					
586	D4					
587	D4					



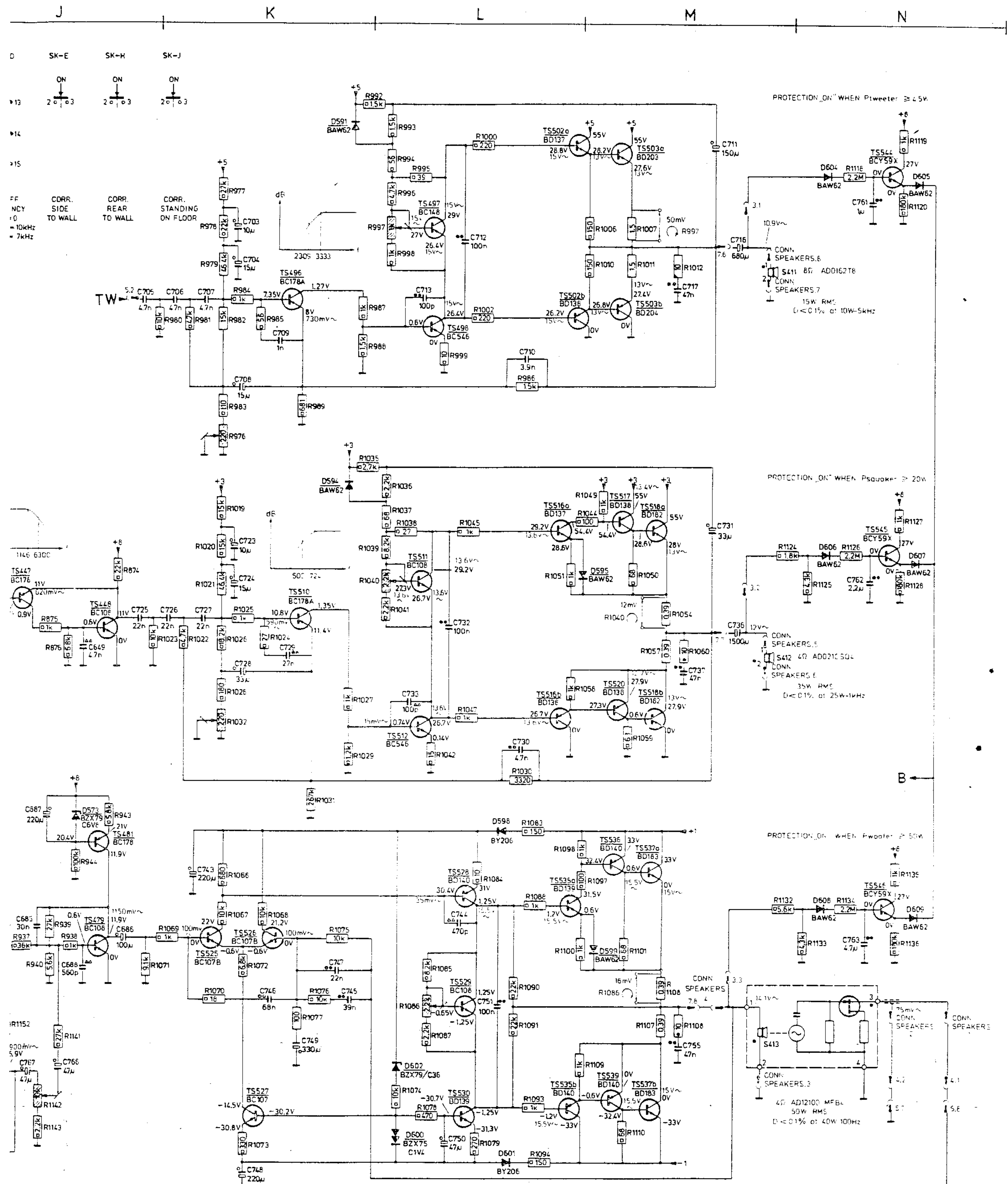
IN POSITION „1 VOLT“
IN POSITION „OFF ASSYMMETRIC“
FREQUENCY IN POSITION „OFF“
IS LOW IN POSITIONS „OFF“
„OFF“ IN POSITION „0 dB“
VOL“ IN POSITION „0 dB“
S TO BE SHORT-CIRCUITED

B682E7/A

-TS-	-C-	-R-		
447 J3	647 I3	870 I3	1059 M4	
448 J3	648 J3	872 I3	1060 M3	
477 I5	649 J3	873 J3	1066 K5	
478 J5	680 I5	874 J3	1067 K5	
479 J5	681 I5	875 J3	1068 K5	
481 J4	682 I5	876 J3	1069 K5	
496 K2	683 I5	930 H5	1070 K5	
497 L1	684 J5	931 I5	1071 J5	
498 L2	685 J5	932 I5	1072 K5	
502a L1	686 J5	933 I5	1073 K6	
502b L2	687 J4	934 J5	1074 L6	
503a M1	688 J5	935 I5	1075 K5	
503b M2	703 K1	936 I5	1076 K5	
510 K3	704 K2	937 J5	1077 K5	
511 L3	705 J2	938 J5	1078 L6	
512 L4	706 K2	939 J5	1079 L6	
516a L3	707 K2	940 J5	1083 L4	
516b L4	708 K2	943 J4	1084 L5	
517 M3	709 K2	944 J4	1085 L5	
518a M3	710 L2	976 K2	1086 L5	
518b M4	711 M1	977 K1	1087 L5	
520 M4	712 L2	978 K1	1088 L5	
525 K5	713 L2	979 K2	1089 L4	
526 K5	715 H3	980 J2	1090 L5	
527 K6	716 M2	981 K2	1091 L5	
528 L5	717 M2	982 K2	1093 L6	
529 L5	723 K3	983 K2	1094 L6	
530 L6	724 K3	984 K2	1097 M5	
535a L5	725 J3	985 K2	1099 H2	
535b L6	726 K3	986 L2	1100 L5	
536 M4	727 K3	987 K2	1101 M5	
537a M4	728 K4	988 K2	1104 M5	
537b M6	729 K3	989 K2	1107 M5	
539 M6	730 L3	992 K1	1108 M5	
544 N1	731 M3	993 L1	1109 M5	
545 N3	732 L3	994 L1	1110 M6	
546 N5	733 L3	995 L1	1111 I2	
549 J5	735 H2	996 L1	1118 N1	
550 I6	736 M3	997 L1	1119 N1	
551 H6	737 M4	998 L2	1120 N1	
555 H3	743 K5	999 L2	1124 M3	
556 H3	744 L5	1000 L1	1125 N3	
560 H1	745 K5	1002 L2	1126 N3	
	746 K5	1003 H3	1127 N3	
	747 K5	1006 M1	1128 N3	
	748 K6	1007 M1	1132 M5	
	749 K5	1010 M2	1133 N5	
403 G2	750 L6	1011 M2	1134 N5	
405 G1	751 L5	1012 M2	1135 N5	
411 M2	754 H2	1019 K3	1136 N5	
412 M3	755 M5	1020 K3	1141 J5	
413 M5	756 I2	1021 K3	1142 J6	
	761 N1	1022 K3	1143 J6	
	762 N3	1023 J3	1144 J5	
	763 N5	1024 K3	1145 I5	
	765 I6	1025 K3	1146 I6	
416 H3	766 J5	1026 K3	1147 I6	
417 H2	767 J5	1027 K4	1151 J6	
418 H2	768 J6	1028 K4	1152 J5	
419 I2	769 J6	1029 K4	1153 I5	
a G1	770 I6	1030 L4	1154 I5	
b G2	771 I6	1031 K4	1155 I6	
c G2	772 H6	1032 K4	1156 I6	
	773 I3	1035 K3	1159 I3	
	778 H2	1036 L3	1160 H5	
	779 H2	1037 L3	1161 I6	
	780 H2	1038 L3	1162 H6	
	785 H3	1039 L3	1163 I6	
	786 H3	1040 L3	1170 H3	
	787 H3	1041 L3	1171 H3	
	788 H2	1042 L4	1172 H3	
	789 H2	1044 M3	1173 H3	
	599 M5	790 H2	1045 L3	1174 H3
	600 L6	795 I1	1047 L4	1175 H3
	601 L6	796 H2	1048 H2	1180 H1
	602 L5	799 H1	1049 M3	1181 H1
	604 N1	800 H1	1050 M3	1182 I1
	605 N1		1051 L3	1183 H1
	606 N3		1054 M3	1185 H1
	607 N3		1057 M3	1186 H1
	608 N5		1058 L4	1187 G1

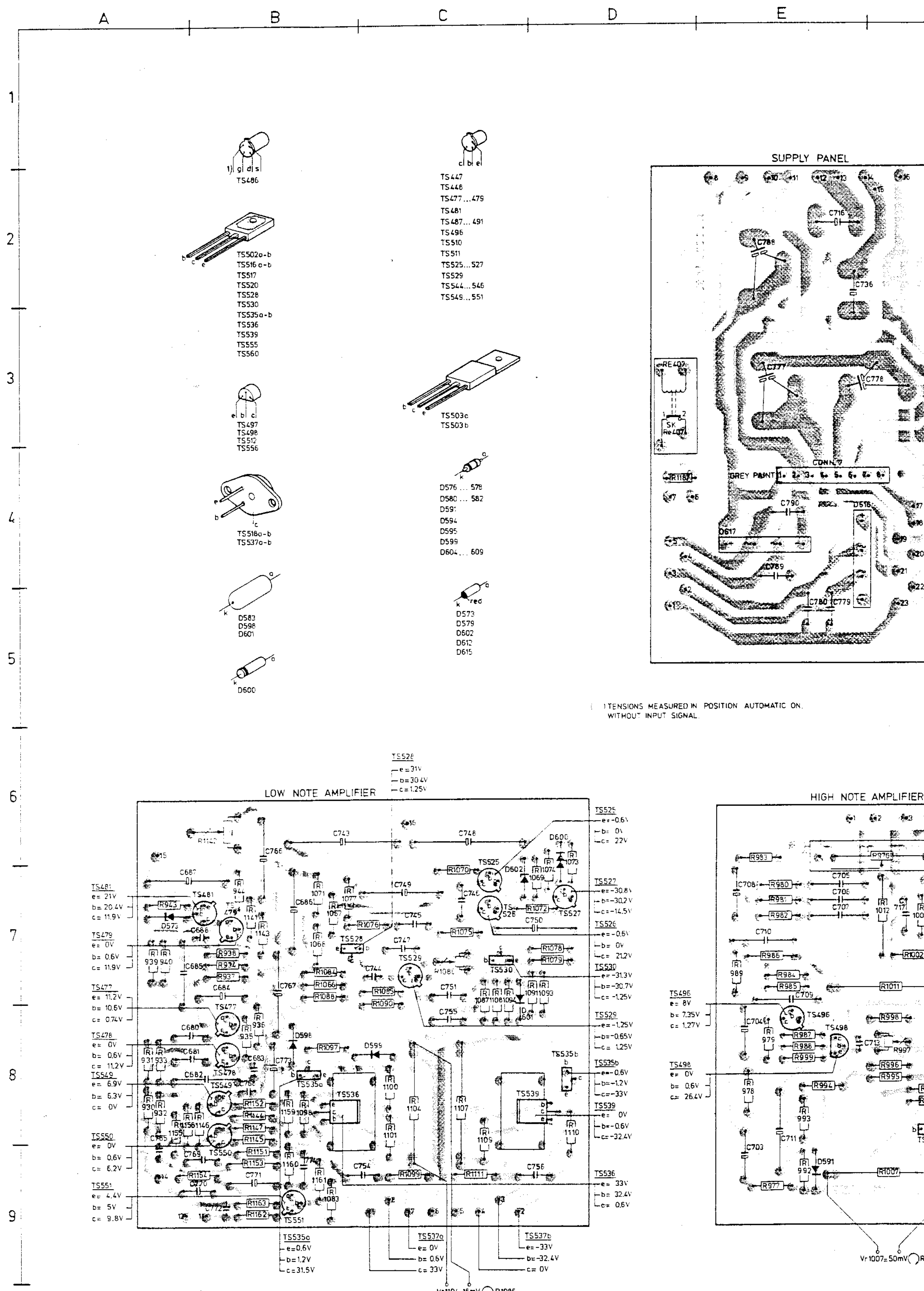


- Carbon resistor E24 series 0.125 W 5 %
 Carbon resistor E12 series 0.25 W < 1 MΩ 5 %
 Carbon resistor E12 series 1 W > 2.2 MΩ 10 %
 Plate ceramic capacitor
 Flat-foil polyester capacitor
 Miniature electrolytic capacitor



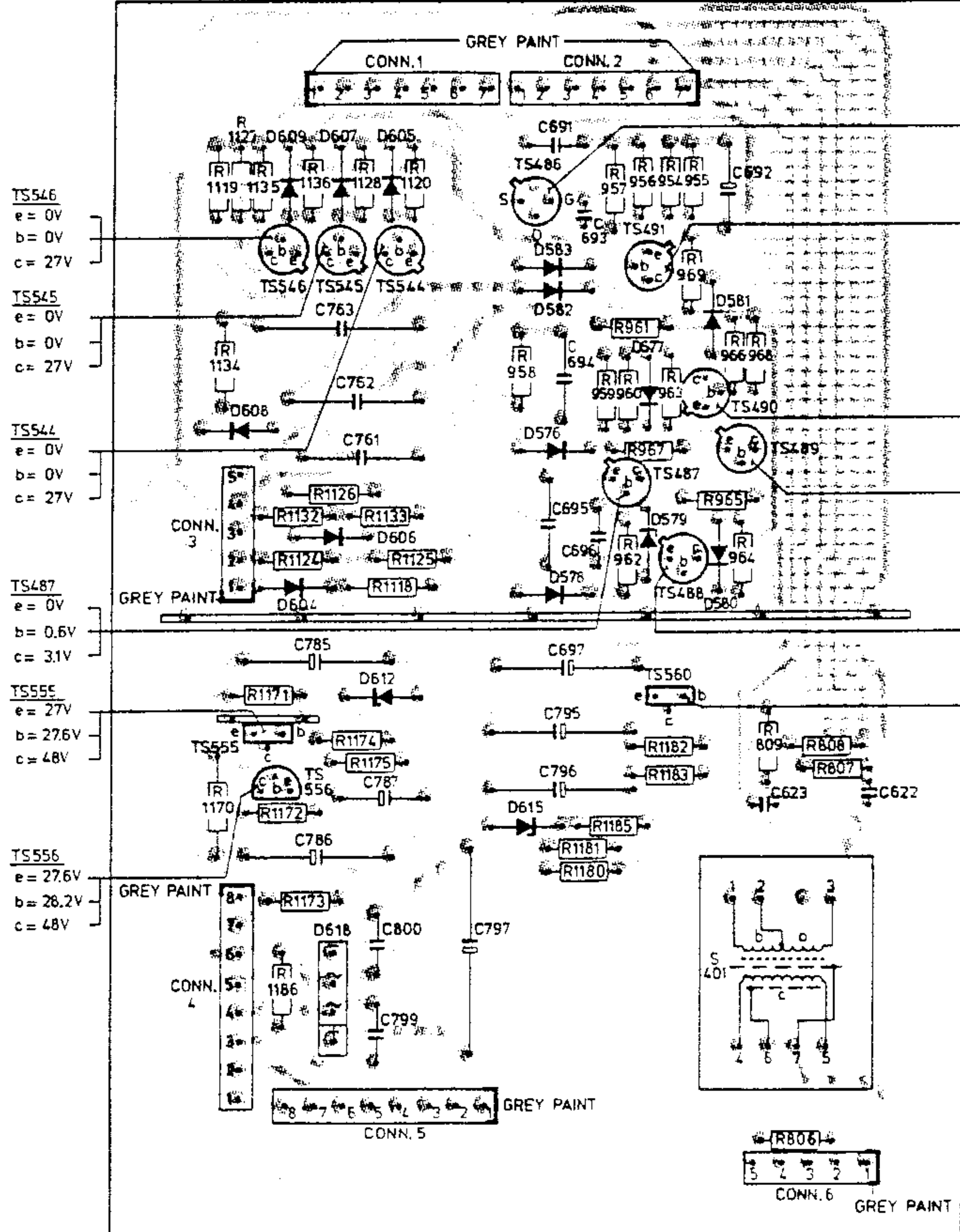
MEASURED WITH
 - KNOB „SENSITIVITY“ IN POSITION „1 VOLT“
 - KNOB „AUTOMATIC“ IN POSITION „OFF ASSYMETRIC“
 - KNOB „ROLL OFF FREQUENCY“ IN POSITION „OFF“
 - KNOB „CORRECTIONS LOW“ IN POSITION „OFF“
 - KNOB „TREBLE ROLL OFF“ IN POSITION „0 dB“
 - KNOB „BASS CONTROL“ IN POSITION „0 dB“
 OF THE PROTECTION-CIRCUIT, R884 HAS TO BE SHORTCIRCUITED

8683E7/A

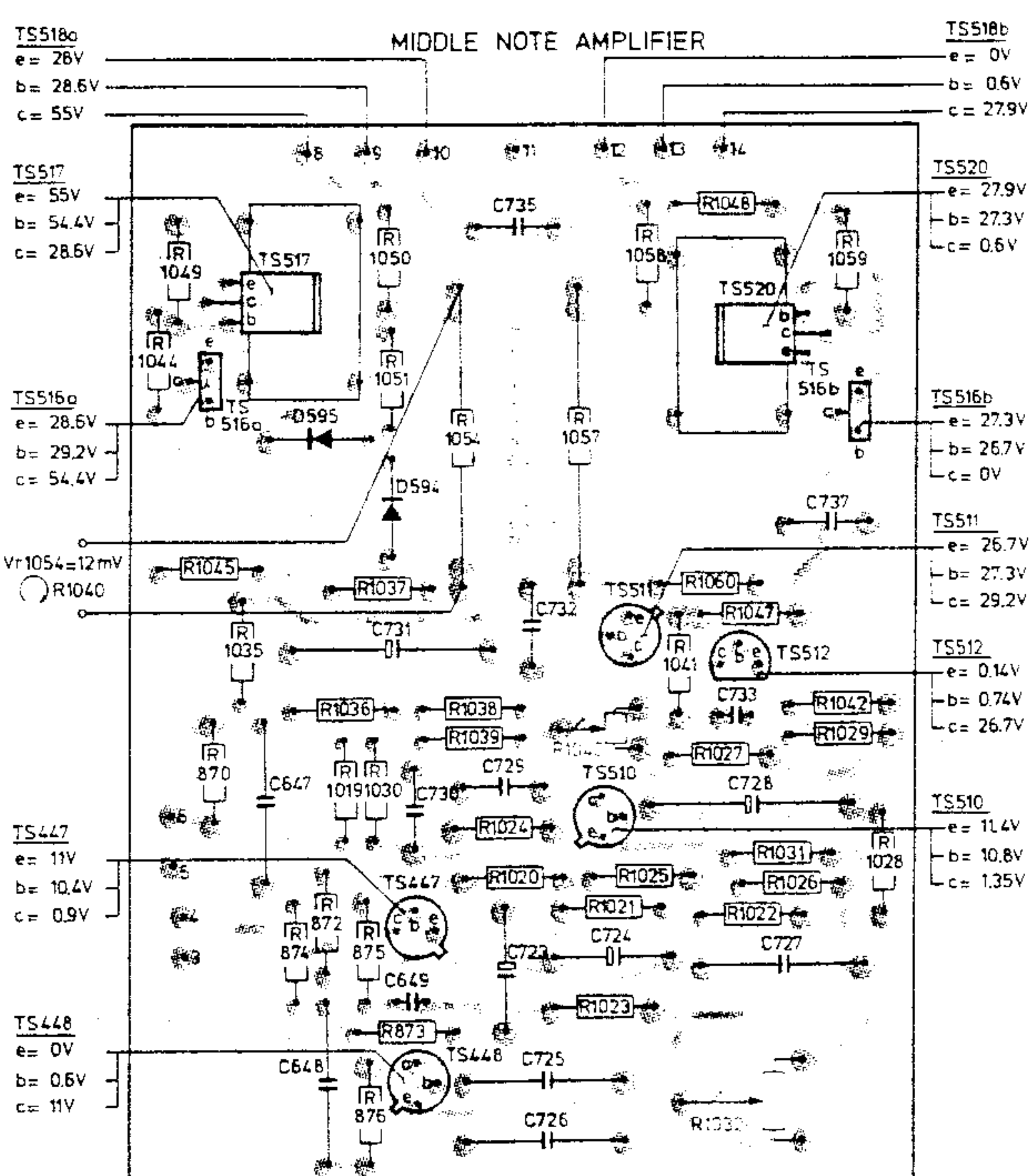


G H I

BOTTOM PANEL



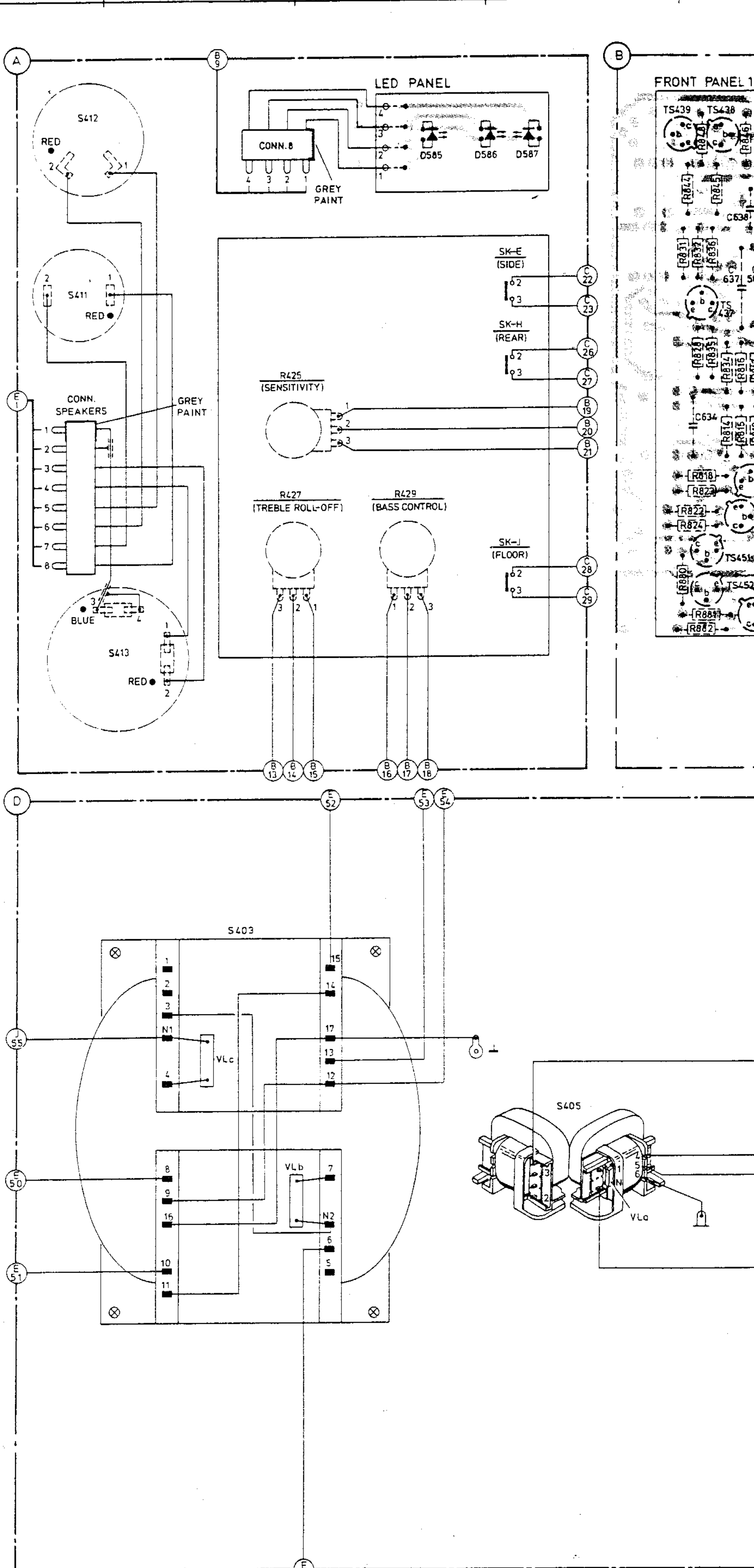
-TS-	-C-	-R-
447	H8	622
448	H9	623
477	B8	647
478	B8	648
479	B7	649
481	B7	680
486	H2	681
487	H3	682
488	H3	683
489	H3	684
490	H3	685
491	H2	686
496	E8	687
497	F8	688
498	E8	691
502a	F8	692
502b	F7	693
503a	F8	694
503b	F7	695
510	H8	696
511	H7	697
512	H7	703
516a	G7	704
516b	I7	705
517	G6	706
518a	H6	707
518b	H6	708
520	H7	709
525	C6	710
526	C7	711
527	D7	712
528	B7	713
529	C7	715
530	C7	716
535a	B8	717
535b	D8	723
536	B8	724
537a	C9	725
537b	C9	726
539	C8	727
544	G2	728
545	G2	729
546	G2	730
549	B8	731
550	B9	732
551	B9	733
555	G4	735
556	G4	736
560	H4	737
743	B6	987
744	C7	988
745	C7	989
746	C7	992
401	H4	993
407	D3	994
747	C7	995
748	C6	996
749	C7	997
750	D7	998
751	C7	999
754	C9	1000
755	C8	1002
756	D9	1003
761	G3	1004
762	G3	1005
763	G2	1006
765	A8	1007
573	A7	1008
576	H3	1009
577	H2	1010
578	H3	1011
579	H3	1012
580	H3	1013
581	H2	1014
582	H2	1015
583	H2	1016
591	E9	1017
594	H7	1018
595	G7	1019
598	B8	1020
599	C8	1021
600	D6	1022
601	C8	1023
602	C7	1024
604	G3	1025
605	G2	1026
606	G3	1027
607	G2	1028
608	G3	1029
609	G2	1030
612	G4	1031
615	H4	1032
616	E4	1033
617	E4	1034
618	G4	1035
800	G4	1036
1041	H8	1037
1042	I8	1038
1044	G7	1039
		1186 G5
		1187 D4

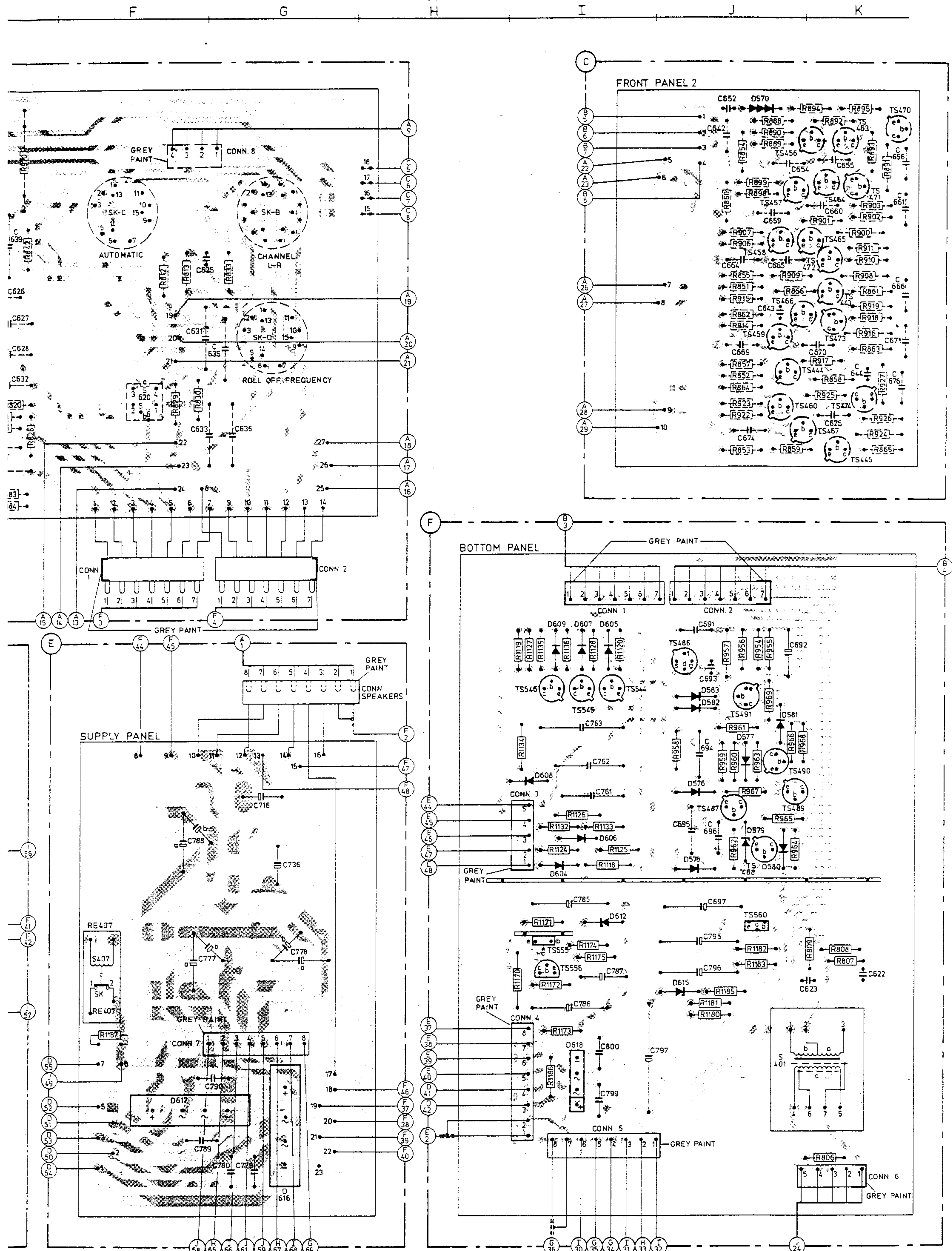


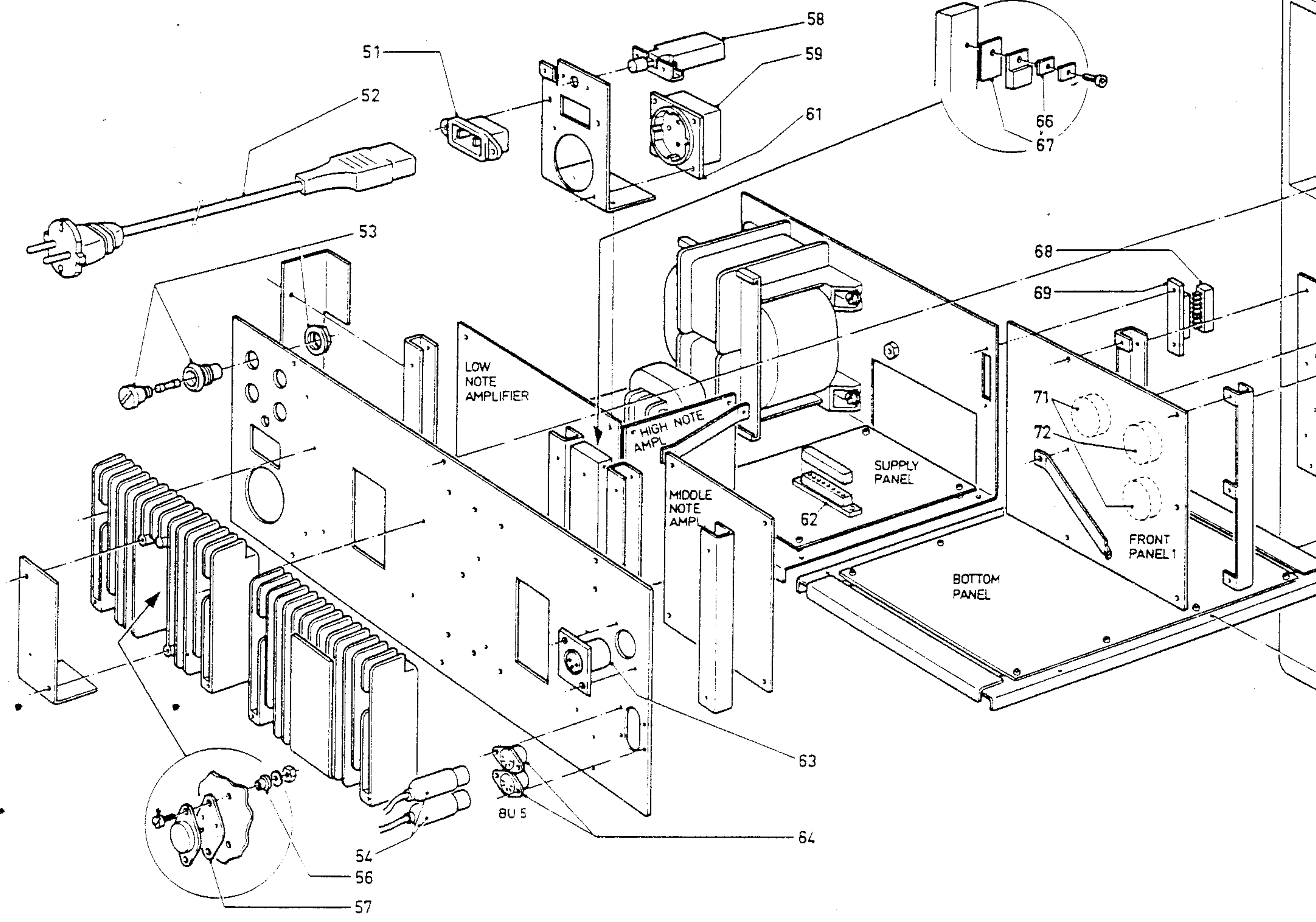
10324E12

CS56114

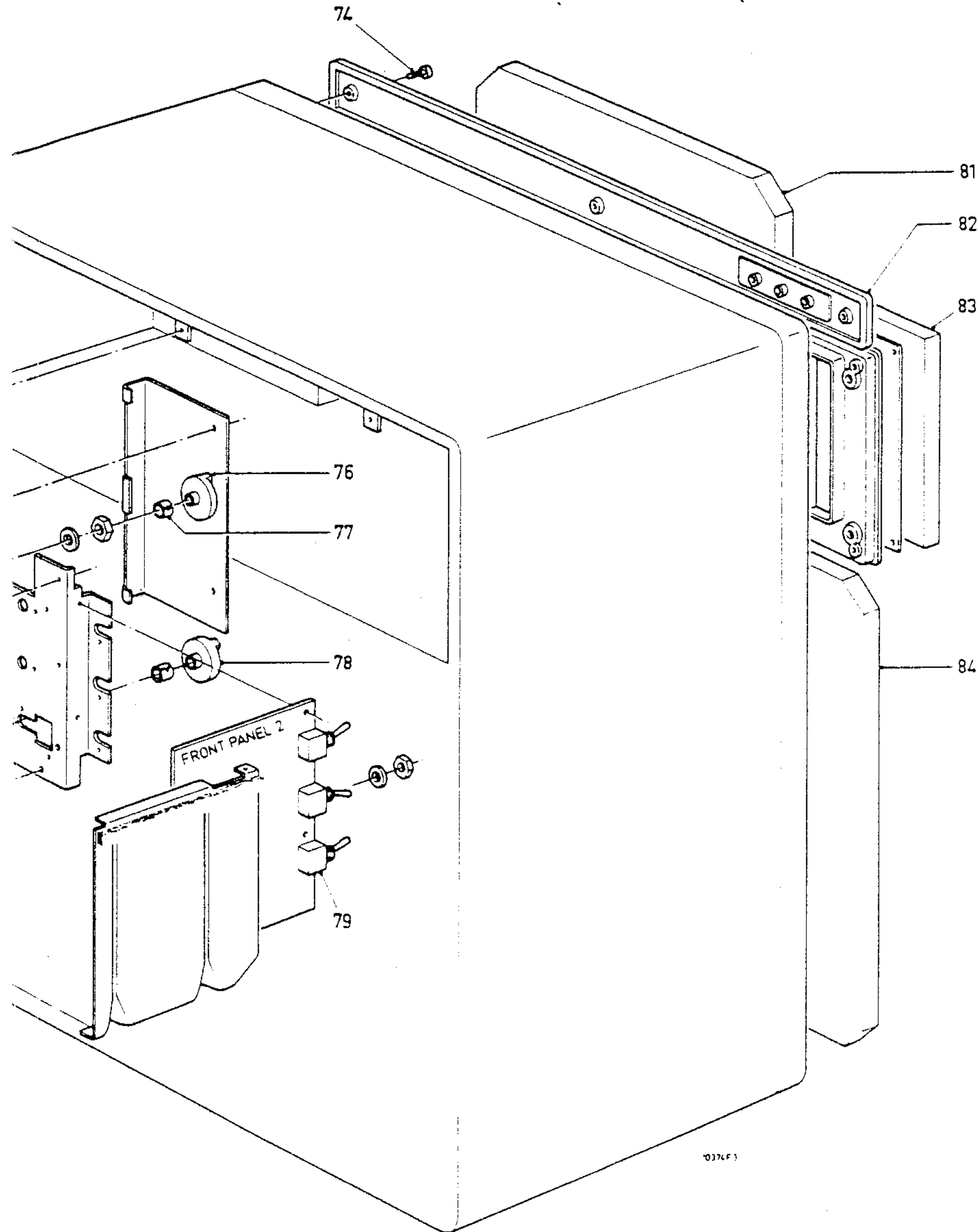
-TS-	-C-	-R-	
435 E3	622 K7	425 B2	898 J2
436 E3	623 J7	427 B3	899 1 J2
437 D2	625 F2	429 C3	900 K2
438 E1	626 E2	806 J8	901 J2
439 D1	627 E2	807 K7	902 K2
443 J2	628 E3	808 K7	903 K2
444 J3	631 F3	809 J7	906 J2
445 J3	632 E3	812 F2	907 J2
451 D3	633 F3	813 F2	908 K2
452 D4	634 D3	814 E3	909 J3
453 E4	635 F3	815 E3	910 K2
456 J1	636 F3	816 E2	911 K2
457 J2	637 E2	817 E2	914 J3
458 J2	638 E2	818 D3	915 J2
459 J3	639 E2	819 E3	916 2 J3
460 J3	640 E1	820 E3	917 J3
463 K1	642 J1	821 E3	918 K2
464 J2	643 J2	822 D3	919 K2
465 J2	644 K3	823 D3	922 J3
466 J2	651 E3	824 D3	923 J3
467 J3	652 J1	825 E3	924 J3
470 K1	654 J1	826 E3	925 J3
471 K2	655 J1	828 D2	926 K3
472 J2	656 K1	829 F3	927 K3
473 J3	659 J2	830 F3	954 J5
474 K3	660 J2	831 D2	955 J5
486 I5	661 K2	832 D2	956 J5
487 J6	664 J2	833 F2	957 3 J5
488 J6	665 J2	834 E2	958 J5
489 J6	666 K2	835 D2	959 J5
490 J5	669 J3	836 D2	960 J5
491 J5	670 J3	837 E2	961 J5
544 I6	671 K3	841 E1	962 J6
545 I6	674 J3	842 E2	963 J5
546 I5	675 J3	843 E2	964 J6
555 I7	676 K3	844 D1	965 J6
556 I7	691 J5	845 D1	966 J5
560 J6	692 J5	846 E1	967 J6
	693 J5	847 E1	968 J5
	694 J5	848 D1	969 J5
	695 J6	851 J2	970 4 E1
	696 J6	852 J3	1118 J6
	697 J6	853 J3	1119 H5
	716 G6	854 J1	1120 J5
	736 G6	855 J2	1124 J6
	761 I6	856 J2	1125 J6
	762 I5	857 J3	1126 J6
	763 I5	858 J3	1127 H5
	777 F7	859 J3	1128 J5
	778 G7	860 J2	1132 J6
	779 G8	861 K2	1133 J6
	780 F8	862 J2	1134 H5
	785 I6	863 K3	1135 H5
	786 I7	864 J3	1136 H5
	787 I7	865 K3	1170 H7
	788 F6	880 D3	1171 J6
	789 F8	881 D4	1172 J7
	790 F7	882 D4	1173 J7
	795 J7	883 E4	1174 J7
a D7	796 J7	884 E4	1175 J7
b B7	797 I7	888 J1	1180 J7
c B6	799 I8	889 J1	1181 J7
	800 I7	890 J1	1182 J7
		891 K1	1183 J7
		892 J1	1185 J7
		893 K1	1186 J7
		894 J1	1187 F7
		895 K1	
			7
			8



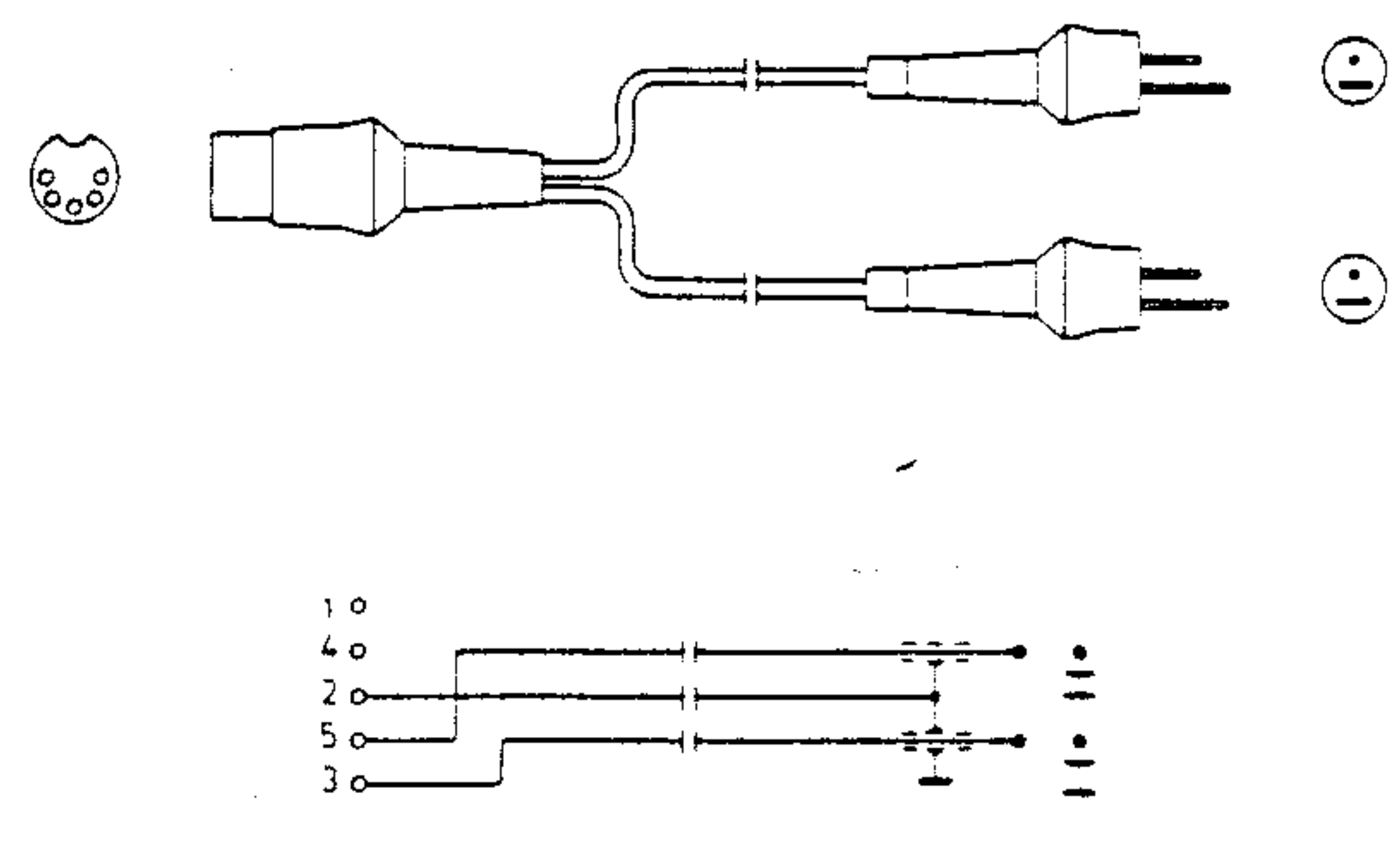




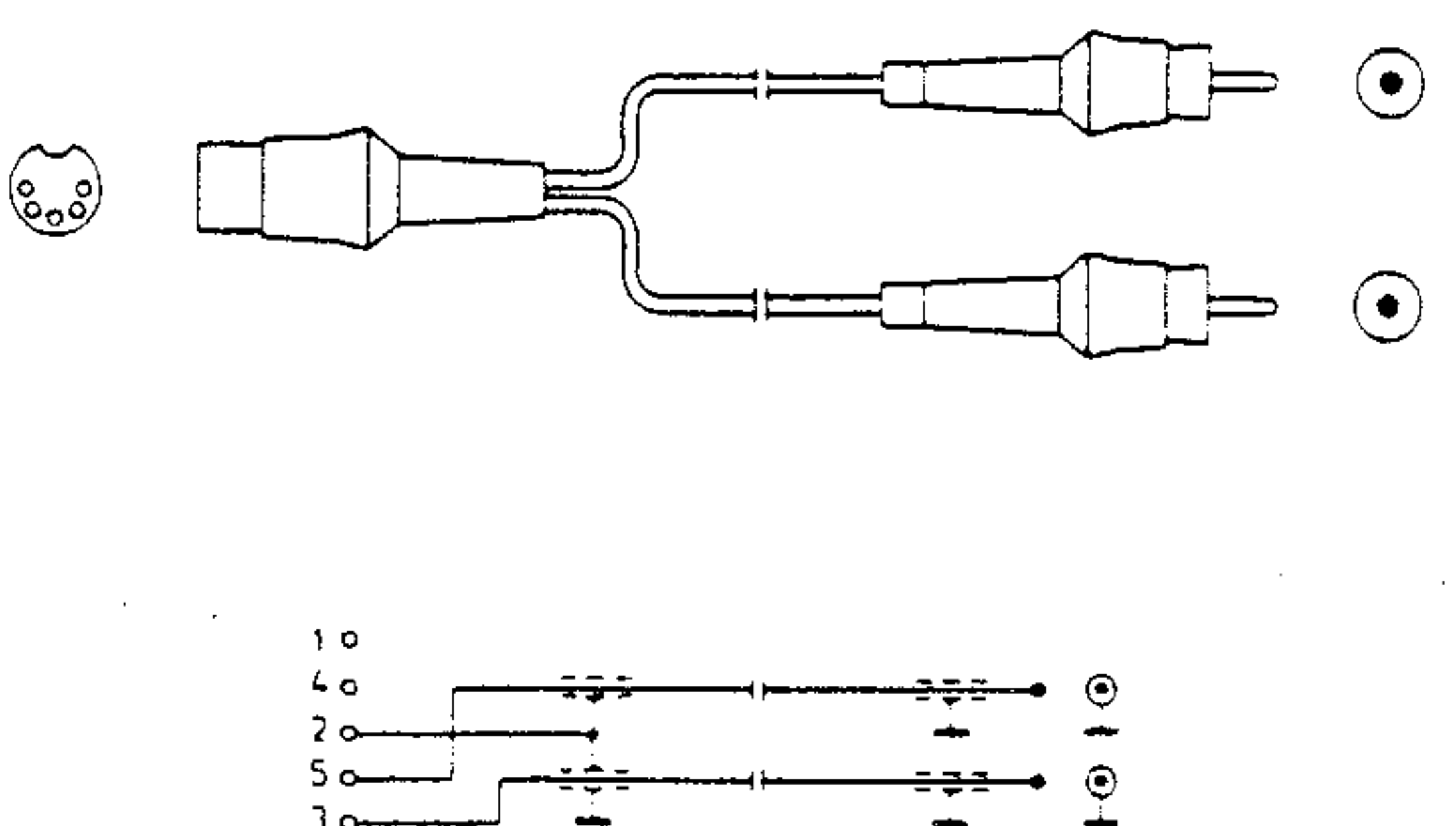
51	4822 265 20113	68	4822 264 50081
52	4822 321 10166	69	4822 267 50206
52	4822 321 10174 (16R;28R)	71	4822 273 30241
53	4822 256 40044	72	4822 273 30239
54	4822 264 40023	74	4822 502 11141
56	4822 325 80112	76	4822 413 50893
57	5322 255 40072	77	4822 492 61974
58	4822 276 10364	78	4822 413 50894
59	4822 267 30247	79	4822 277 10399
61	4822 268 40089	81	4822 445 30041
62	4822 267 50221	82	4822 333 60147
63	5322 267 40141	83	4822 426 40084
64	5322 267 40039	84	4822 445 30039
66	4822 532 50991		
67	4822 255 40112		



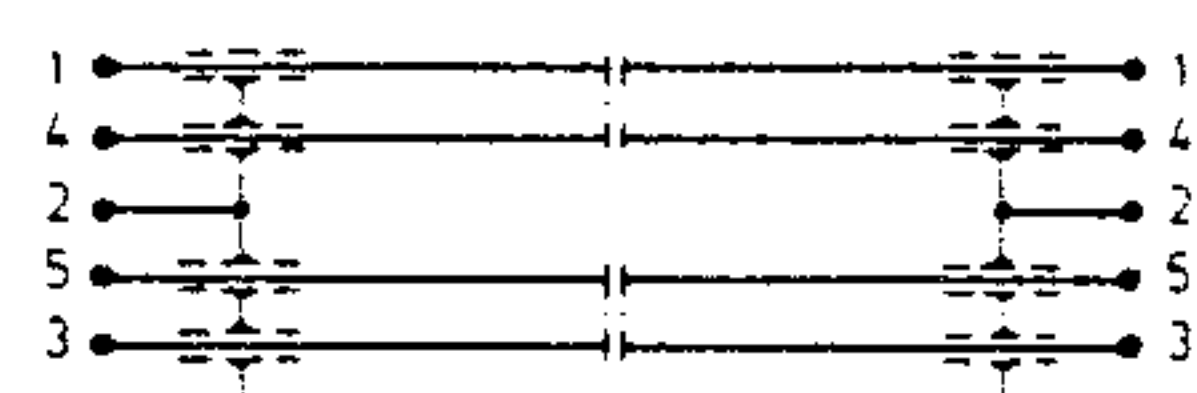
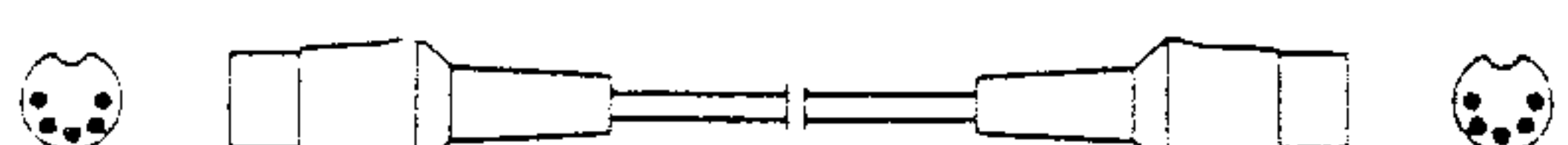
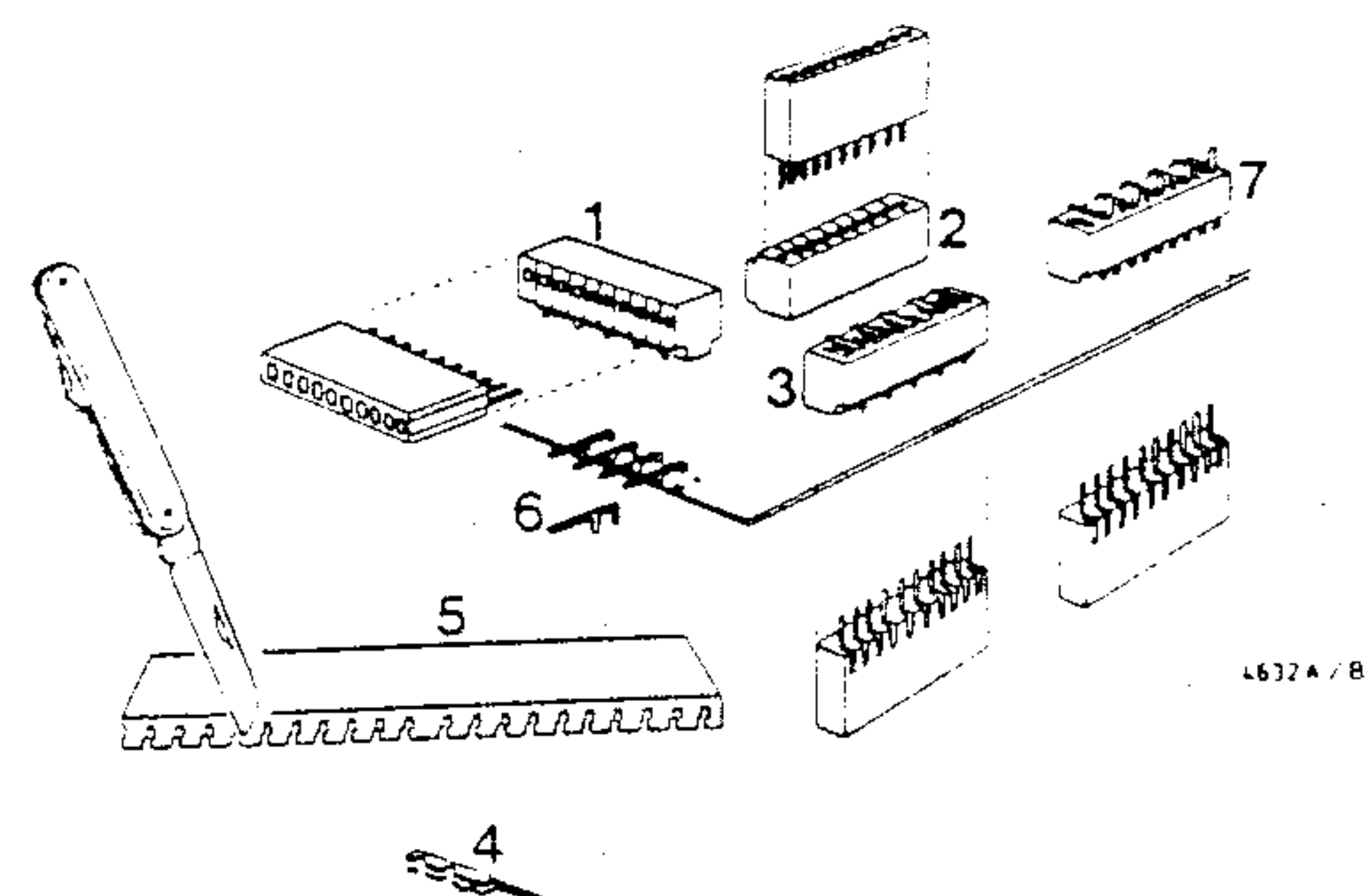
4822 321 20337
0.15 m



4822 321 20299
0.15 m



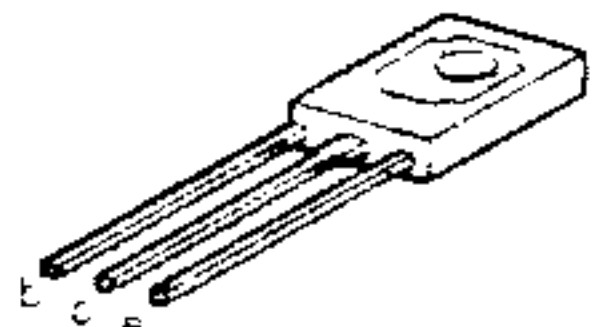
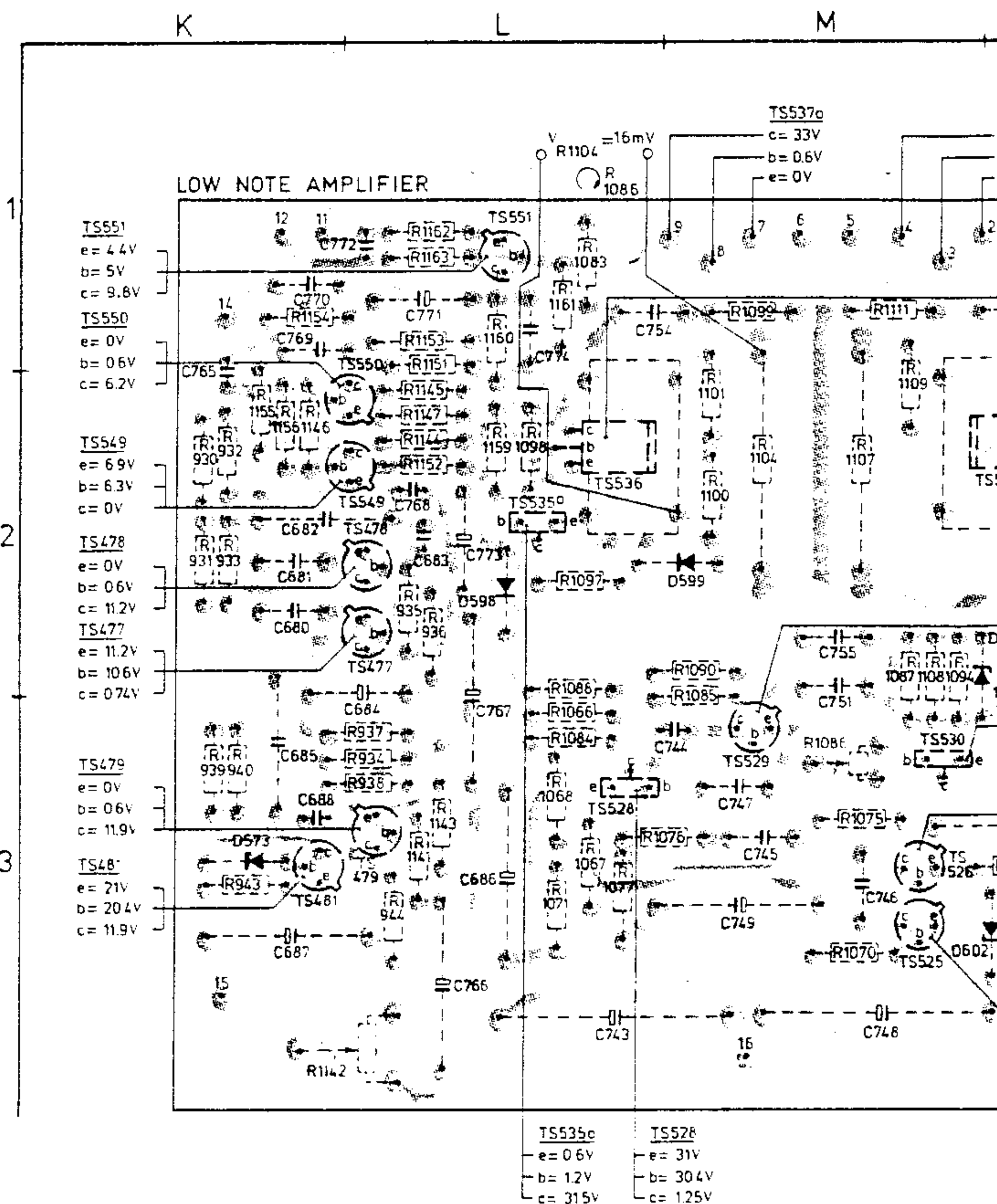
4822 321 20345
10 m



5622A

- 1 5322 267 64027 (10p)
- 2 4822 267 50209 (10p)
- 4 4822 268 10107
- 5 5322 267 64007 (20p)
- 6 5322 264 54017 (strip)

-TS-		-C-	
447	R2	647	R2
448	R1	648	R1
477	L2	649	R1
478	L2	680	K2
479	L3	681	K2
481	K3	682	K2
496	O2	683	L2
497	P2	684	L3
498	P2	685	K3
502a	P2	686	L3
502b	P3	687	K3
503a	P2	688	K3
503b	P3	703	O1
510	S2	704	O2
511	S2	705	P3
512	S2	706	P3
516a	R3	707	P3
516b	S3	708	O3
517	R3	709	O2
520	S3	710	O3
525	M3	711	O2
526	M3	712	P2
527	N3	713	P2
528	L3	715	P3
529	M3	717	P3
530	M3	723	R2
535a	L2	724	S2
535b	N2	725	R1
536	L2	726	R2
537a	M1	727	S2
537b	M1	728	S2
539	N2	729	R2
549	L2	730	R2
550	L2	731	R2
551	L2	732	R2
-D-		733	S2
-D-		735	R3
573	K3	737	S3
591	O1	743	L3
594	R3	744	M3
595	R3	745	M3
598	L2	746	M3
599	M2	747	M3
600	N3	748	M3
601	N2	749	M3
602	N3	750	N3
		751	M3
		754	L1
		755	M2
		756	N1
		765	K2
		766	L3
		767	L3
		768	L2
		769	K1
		770	K1
		771	L1
		772	L1
		773	L2
		774	L1



TS502a - b	TS447
TS516a - b	TS448
TS517	TS477...479
TS520	TS481
TS528	TS495
TS530	TS510
TS535a - b	TS511
TS536	TS525...527
TS539	TS529

-R-

870	R2	944	L3	995	P2	1024	R2	1043
872	R2	976	P3	996	P2	1025	S2	1047
873	R1	977	O1	997	P2	1026	S2	1048
874	R2	978	O2	998	P2	1027	S2	1049
875	R2	979	O2	999	P2	1028	S2	1050
876	R1	980	O3	1000	P2	1029	S2	1051
930	K2	981	O3	1002	O2	1030	R2	1054
931	K2	982	O3	1003	P3	1031	S2	1057
932	K2	983	O3	1006	P2	1032	S1	1058
933	K2	984	O3	1007	P1	1035	R2	1059
934	L3	985	O2	1010	P3	1036	R2	1060
935	L2	986	O3	1011	P2	1037	R3	1066
936	L2	987	O2	1012	P3	1038	R2	1067
937	L3	988	O2	1019	R2	1039	R2	1068
938	L3	989	O3	1020	R2	1040	S2	1069
939	L3	992	O1	1021	S2	1041	S2	1070
940	L3	993	O2	1022	S2	1042	S2	1071
943	L3	994	O2	1023	S1	1044	R3	1072